


การสร้างแบบจำลองและการออปติไมซ์ของหน่วยการกั้นความดันบรรยากาศและสุญญากาศ



นายวชิระ เสาวภาคย์

วิทยานิพนธ์นี้เป็นส่วนหนึ่งของการศึกษาตามหลักสูตรปริญญาวิศวกรรมศาสตรมหาบัณฑิต

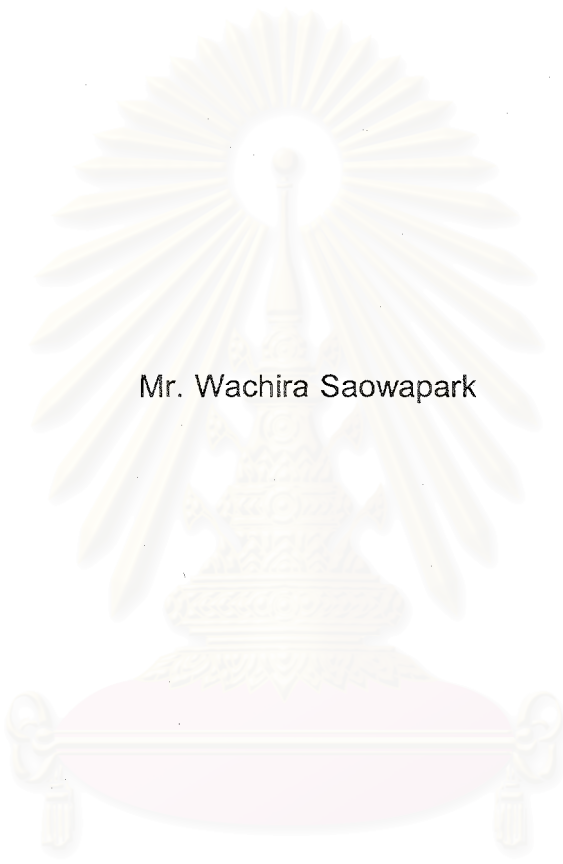
สาขาวิชาวิศวกรรมเคมี ภาควิชาวิศวกรรมเคมี
คณะวิศวกรรมศาสตร์ จุฬาลงกรณ์มหาวิทยาลัย

ปีการศึกษา 2544

ISBN 974-03-1258-6

ลิขสิทธิ์ของจุฬาลงกรณ์มหาวิทยาลัย

MODELING AND OPTIMIZATION OF ATMOSPHERIC AND VACUUM DISTILLATION COLUMN



Mr. Wachira Saowapark

A Thesis Submitted in Partial Fulfillment of the Requirements
for the Degree of Master of Engineering in Chemical Engineering

Department of Chemical Engineering

Faculty of Engineering

Chulalongkorn University

Academic Year 2001

ISBN 974-03-1258-6

วชิระ เสาวภาคย์: การสร้างแบบจำลอง และการอบตีไมซ์ของหน่วยการกลั่นความดัน
บรรยากาศและสุญญากาศ (MODELING AND OPTIMIZATION OF ATMOSPHERIC AND
VACUUM DISTILLATION COLUMN) อาจารย์ที่ปรึกษา : ดร.มนตรี วงศ์ศรี, อาจารย์ที่ปรึกษา
ร่วม : นายสุเมธ ปริญญาปริวัฒน์ ; 56 หน้า ISBN 974-03-1258-6

งานวิจัยนี้เป็นการสร้างแบบจำลอง และการอบตีไมซ์ของหน่วยการกลั่นความดันบรรยากาศ
และสุญญากาศของบริษัทอุตสาหกรรมปิโตรเคมีกัลไทยจำกัด (มหาชน) จังหวัดระยอง ด้วยโปรแกรม
ไฮซิส (Hysys) เพื่อให้ได้ปริมาณผลิตภัณฑ์ที่เป็นที่ต้องการของตลาดสูงสุด โดยที่คุณสมบัติของผลิตภัณฑ์
นั้นยังคงอยู่ในมาตรฐานที่กำหนด

แบบจำลองที่สร้างขึ้นนี้ ตั้งอยู่บนพื้นฐานที่ว่า แบบจำลองที่สร้างขึ้นจะต้องสอดคล้องและต้อง
สามารถเป็นตัวแทนของกระบวนการผลิตจริงได้ โดยการเลือกข้อมูลจริงจากการผลิตของหน่วยการ
กลั่นความดันบรรยากาศและสุญญากาศ ในช่วงที่อยู่ในสภาวะที่มีความเสถียร

เมื่อแบบจำลอง ได้ตรวจสอบว่าสามารถใช้เป็นตัวแทนของหน่วยการกลั่นความดันบรรยากาศ
และสุญญากาศได้ จึงได้นำแบบจำลองนี้มาทำการอบตีไมซ์เพื่อหาสภาวะการดำเนินงานที่เหมาะสมที่
สุดสำหรับหน่วยการกลั่นความดันบรรยากาศเพื่อให้ได้ปริมาณผลิตภัณฑ์ Heavy Naphtha มากที่สุด และ
มาทำการอบตีไมซ์เพื่อหาสภาวะการดำเนินงานที่เหมาะสมที่สุดสำหรับหน่วยการกลั่นความดัน
สุญญากาศเพื่อให้ได้ปริมาณผลิตภัณฑ์ D150 และ D500 มากที่สุด ซึ่งผลิตภัณฑ์ Heavy Naphtha
D150 และ D500 เป็นผลิตภัณฑ์ที่ราคาสูงและเป็นที่ต้องการของตลาด

สถาบันวิทยบริการ จุฬาลงกรณ์มหาวิทยาลัย

ภาควิชาวิศวกรรมเคมี
สาขาวิชาวิศวกรรมเคมี
ปีการศึกษา 2544

ลายมือชื่อนักศึกษา.....
ลายมือชื่ออาจารย์ที่ปรึกษา.....
ลายมือชื่ออาจารย์ที่ปรึกษาร่วม.....

417 14856 21 MAJOR CHEMICAL ENGINEERING

KEY WORD: HYSYS/ SIMULATION/ OPTIMIZATION/ ATMOSPHERIC AND VACUUM DISTILATION COLUMN

WACHIRA SAOWAPARK: MODELING AND OPTIMIZATION OF ATMOSPHERIC AND VACUUM DISTILATION COLUMN. THESIS ADVISOR: MONTREE WONGSRI, D.Sc. THESIS COADVISOR: SUMATE PARINYAPARIWAT. 56 pp. ISBN 974-03-1258-6

This research was emphasized on modeling and optimization of Atmospheric and Vacuum Distillation Column unit in the Thai Petrochemical Industry (Public) Co.Ltd. at Rayong by using of Hysys which is the simulation software. Maximize on product quantity was the objective of Simulation Model optimization in order to achieve maximum products that has high market demand and still meet required product quality.

Simulation Model had been build by using Hysys and the model had to be consistence with actual unit characteristic. Input by actual data from actual operation during steady state period into simulation model is necessary to prove the simulation model.

As simulation model had been proved to ensure this model could be represented the characteristic of actual unit, next step the optimization on distillation column was performed. For Atmospheric Distillation column, maximizing of Heavy Naphtha product was the objective of optimization. For Vacuum Distillation column, maximizing of D150 and D500 product was the objective of optimization. According to product price Heavy Naphtha , D150 and D500 have high price and high market demand.

สถาบันวิทยบริการ
จุฬาลงกรณ์มหาวิทยาลัย

Department of Chemical Engineering
Field of study of Chemical Engineering
Academic year 2001

Student's signature.....
Advisor's signature
Co-advisor's signature.....

กิตติกรรมประกาศ

ขอขอบพระคุณ อาจารย์ ดร. มนต์รี วงศ์ศรี อาจารย์ที่ปรึกษาวิทยานิพนธ์ และอาจารย์ที่ปรึกษาวิทยานิพนธ์ร่วม คุณสุเมธ ปริญญาปรีวัฒน์ จากบริษัทอุตสาหกรรมปิโตรเคมีกัลไทยจำกัด (มหาชน) อย่างสูงสำหรับการให้คำปรึกษา การให้โอกาส และการแนะนำในการพัฒนางานวิจัย ตลอดจนความช่วยเหลือด้านต่าง ๆ อย่างดียิ่ง

ขอขอบพระคุณ ศาสตราจารย์ ดร. ปิยะसार ประเสริฐธรรม ประธานกรรมการ และรองศาสตราจารย์ ดร. ไพศาล กิตติศุภกร ที่กรุณาเป็นกรรมการสอบวิทยานิพนธ์ และให้ข้อคิดที่เป็นประโยชน์ต่องานวิจัยนี้

ขอขอบคุณ รุ่นพี่ เพื่อนๆ และน้องๆ สำหรับกำลังใจ และความช่วยเหลือที่ดีตลอดมา

ท้ายนี้ผู้วิจัยใคร่ขอกราบขอบพระคุณบิดามารดา และพี่น้องในครอบครัวทุกคนที่ให้การสนับสนุน และเป็นกำลังใจให้ตลอดมาจนสำเร็จการศึกษา

สถาบันวิทยบริการ
จุฬาลงกรณ์มหาวิทยาลัย

สารบัญ

| | หน้า |
|---|------|
| บทคัดย่อ(ภาษาไทย)..... | ง |
| บทคัดย่อ(ภาษาอังกฤษ)..... | จ |
| กิตติกรรมประกาศ..... | ฉ |
| สารบัญ..... | ช |
| สารบัญภาพ..... | ฅ |
| สารบัญตาราง..... | ฉ |
| บทที่ 1 บทนำ..... | 1 |
| 1.1 คำนำ..... | 1 |
| 1.1 วัตถุประสงค์..... | 2 |
| 1.2 ขอบเขตงานวิจัย..... | 2 |
| 1.3 ประโยชน์ที่ได้รับ..... | 2 |
| บทที่ 2 ทฤษฎีและผลงานวิจัยที่เกี่ยวข้อง..... | 3 |
| 2.1 การจำลองกระบวนการผลิต..... | 3 |
| 2.2 การกลั่น..... | 4 |
| 2.2.1 การกลั่นแบบแฟลช..... | 4 |
| 2.2.2 การกลั่นแบบดีฟเฟอเรนเชียล..... | 4 |
| 2.2.3 การกลั่นด้วยไอน้ำ..... | 5 |
| 2.2.4 การกลั่นลำดับส่วน..... | 5 |
| 2.3 การออปติไมซ์..... | 7 |
| 2.3.1 ความหมายของการออปติไมซ์..... | 8 |
| 2.3.2 สาเหตุการทำออปติไมซ์..... | 9 |
| 2.3.3 ตัวอย่างการนำไปใช้ของการทำออปติไมซ์เซชัน..... | 10 |
| 2.3.4 ขอบเขตการทำออปติไมซ์เซชัน..... | 11 |
| 2.3.5 ขั้นตอนการทำออปติไมซ์เซชัน..... | 12 |

สารบัญ(ต่อ)

| | หน้า |
|--|------|
| 2.3.6 อุปสรรคต่อการทำออปติไมซ์เซชัน..... | 13 |
| 2.4 องค์ประกอบการทำออปติไมซ์เซชัน..... | 15 |
| 2.4.1 แบบจำลองกระบวนการ..... | 15 |
| 2.4.2 ฟังก์ชันวัตถุประสงค์..... | 15 |
| 2.4.3 เงื่อนไขบังคับ..... | 15 |
| 2.4.4 อัลกอริทึมสำหรับการทำออปติไมซ์เซชัน..... | 16 |
| บทที่ 3 กระบวนการผลิตของหน่วยการกั้นความดันบรรยากาศและสุญญากาศ..... | 18 |
| 3.1 หน่วยการกั้นความดันบรรยากาศ..... | 18 |
| 3.2 หน่วยการกั้นความดันสุญญากาศ..... | 20 |
| บทที่ 4 การสร้างแบบจำลองของหน่วยการกั้นความดันบรรยากาศและสุญญากาศ..... | 25 |
| 4.1 การสร้างแบบจำลองโดยโปรแกรมไฮซิส..... | 25 |
| 4.2 ผลการจำลอง..... | 36 |
| 4.3 กรณีศึกษา ผลของตัวแปรต่อแบบจำลอง..... | 39 |
| บทที่ 5 การออปติไมซ์ของหน่วยการกั้นความดันบรรยากาศและสุญญากาศ..... | 47 |
| 5.1 องค์ประกอบของการออปติไมซ์..... | 47 |
| 5.2 ผลการออปติไมซ์..... | 48 |
| 5.3 สรุปผลการออปติไมซ์..... | 51 |
| รายการอ้างอิง..... | 52 |
| ภาคผนวก..... | 53 |
| ก. โปรแกรมไฮซิส..... | 53 |
| ข. สมบัติของผลิตภัณฑ์หลังการออปติไมซ์..... | 55 |
| ประวัติผู้เขียน..... | 56 |

สารบัญภาพ

| | | |
|------------|---|----|
| รูปที่ 2.1 | รายละเอียดหอกลิ้น สำหรับสมการคณิตศาสตร์..... | 6 |
| รูปที่ 3.1 | หน่วยการกลั่นความดัน..... | 20 |
| รูปที่ 3.2 | หน่วยการกลั่นความดัน..... | 23 |
| รูปที่ 4.1 | แบบจำลองหน่วยการกลั่นความดันบรรยากาศ..... | 26 |
| รูปที่ 4.2 | แบบจำลองหน่วยการกลั่นความดันสุญญากาศ..... | 27 |
| รูปที่ 4.3 | แสดงความสัมพันธ์ระหว่าง พลังงานที่ใช้ 1B01 กับ อุณหภูมิเข้า 1C01..... | 40 |
| รูปที่ 4.4 | แสดงความสัมพันธ์ระหว่าง ปริมาณผลิตภัณฑ์ HGO และ ATB กับ อุณหภูมิเข้า 1C01..... | 40 |
| รูปที่ 4.5 | แสดงความสัมพันธ์ระหว่าง พลังงานที่ใช้ 1B01 กับ อัตราการไหล รีฟลักซ์..... | 42 |
| รูปที่ 4.6 | แสดงความสัมพันธ์ระหว่าง ปริมาณผลิตภัณฑ์ HN และ Kerosene กับ อัตราการไหลรีฟลักซ์..... | 42 |
| รูปที่ 4.7 | แสดงความสัมพันธ์ระหว่าง พลังงานที่ใช้ 6B01 กับ อุณหภูมิเข้า 6C01..... | 44 |
| รูปที่ 4.8 | แสดงความสัมพันธ์ระหว่าง ปริมาณผลิตภัณฑ์ HSP และ VR กับ อุณหภูมิเข้า 6C01..... | 44 |
| รูปที่ 4.9 | แสดงความสัมพันธ์ระหว่าง พลังงานที่ใช้ 6B01 กับ ความดันยอดหอ 6C01..... | 46 |

สารบัญตาราง

| | |
|--|----|
| ตารางที่ 3.1 ข้อมูลจำเพาะของหอกลิ้นบรรยากาศ..... | 24 |
| ตารางที่ 3.2 ข้อมูลจำเพาะของหอเสถียรเนพทา..... | 24 |
| ตารางที่ 3.3 ข้อมูลจำเพาะของหอกลิ้นสุญญากาศ..... | 24 |
| ตารางที่ 4.1 อุปกรณ์ของแบบจำลองหน่วยการกลั่นความดันบรรยากาศ..... | 28 |
| ตารางที่ 4.2 อุปกรณ์ของแบบจำลองหน่วยการกลั่นความดันสุญญากาศ..... | 31 |
| ตารางที่ 4.3 แสดงสมบัติของสารป้อนของหน่วยกลั่นความดันบรรยากาศ..... | 33 |
| ตารางที่ 4.4 แสดงสมบัติของสารป้อนของหน่วยกลั่นความดันสุญญากาศ..... | 34 |
| ตารางที่ 4.5 เปรียบเทียบระหว่างข้อมูล การดำเนินงานจริงกับแบบจำลองของ หน่วยกลั่นความดันบรรยากาศ..... | 36 |
| ตารางที่ 4.6 เปรียบเทียบระหว่างข้อมูล การดำเนินงานจริงกับแบบจำลองของ หน่วยกลั่นความดันสุญญากาศ..... | 38 |
| ตารางที่ 4.7 ผลกระทบของการเปลี่ยนแปลงอุณหภูมิเข้าหอกลิ้นบรรยากาศ..... | 39 |
| ตารางที่ 4.8 ผลกระทบของการเปลี่ยนแปลงรีฟลักซ์เข้าหอกลิ้นบรรยากาศ..... | 41 |
| ตารางที่ 4.9 ผลกระทบของการเปลี่ยนแปลงอุณหภูมิเข้าหอกลิ้นสุญญากาศ..... | 43 |
| ตารางที่ 4.10 ผลกระทบของการเปลี่ยนแปลงความดันหอกลิ้นสุญญากาศ..... | 45 |
| ตารางที่ 5.1 แสดงผลก่อนและหลัง การอบตีไม้ซ์ของหน่วยการกลั่น ความดันบรรยากาศ..... | 48 |
| ตารางที่ 5.2 แสดงผลการพิจารณาในแง่รายได้ของหน่วยการกลั่น ความดันบรรยากาศ..... | 49 |
| ตารางที่ 5.3 แสดงข้อมูลของอุณหภูมิเข้า 1C01..... | 49 |
| ตารางที่ 5.4 แสดงผลก่อนและหลัง การอบตีไม้ซ์ของหน่วยการกลั่น ความดันสุญญากาศ..... | 50 |
| ตารางที่ 5.5 แสดงผลการพิจารณาในแง่รายได้ของหน่วยการกลั่น ความดันสุญญากาศ..... | 50 |
| ตารางที่ 5.6 แสดงข้อมูลของอุณหภูมิเข้า 6C01..... | 51 |

บทที่ 1

บทนำ

1.1 คำนำ

ธุรกิจอุตสาหกรรมปิโตรเคมีและปิโตรเลียม เป็นอุตสาหกรรมหนักที่มีความสำคัญต่อประเทศเพิ่มขึ้นเรื่อย ๆ ตั้งแต่ปี พ.ศ. 2523 ผลิตภัณฑ์ที่ได้จะถูกใช้เป็นวัตถุดิบสำหรับอุตสาหกรรมอื่น ๆ นำรายได้เข้าประเทศและลดการนำเข้าผลิตภัณฑ์สำเร็จรูปได้ ธุรกิจโรงกลั่นน้ำมันจัดว่าเป็นธุรกิจปิโตรเคมีและปิโตรเลียมที่สำคัญประเภทหนึ่ง

ประเทศไทยมีโรงกลั่นน้ำมันหลายโรงงาน โรงกลั่นน้ำมันที่พีไอซึ่งตั้งอยู่ที่จังหวัดระยองเป็นบริษัทในกลุ่มที่พีไอ ทำการผลิตน้ำมันและผลิตภัณฑ์จากน้ำมันต่าง ๆ โดยเริ่มทำการผลิตตั้งแต่ปี พ.ศ. 2539 ซึ่งรับน้ำมันดิบจากแหล่งต่าง ๆ จากภายนอกประเทศ น้ำมันดิบจะถูกผ่านกระบวนการต่าง ๆ เพื่อกลั่นแยก กำจัดสารปนเปื้อน และปรับปรุงคุณภาพ จนกระทั่งได้ผลิตภัณฑ์ตามมาตรฐานที่ต้องการ โดยน้ำมันดิบจะถูกกลั่นแยกภายใต้ความดันบรรยากาศก่อน จนได้ผลิตภัณฑ์น้ำมันเชื้อเพลิงประเภทต่าง ๆ ส่วนกากที่เหลือจะถูกกลั่นแยกอีกครั้งที่ความดันสูญญากาศ เพื่อให้ได้น้ำมันหล่อลื่น และยางมะตอย โดยผลิตภัณฑ์ที่ได้จากการกลั่นนั้นจะต้องผ่านหน่วยผลิตต่าง ๆ เพื่อกำจัดสารปนเปื้อนและปรับปรุงคุณภาพ ก่อนที่จะได้ผลิตภัณฑ์สุดท้าย

ในการกลั่นที่ความดันบรรยากาศ จะแยกน้ำมันส่วนที่เบาออกทางด้านบนของหอกลั่นส่วนผลิตภัณฑ์ที่หนักจะแยกออกด้านล่างของหอกลั่นตามลำดับ ซึ่งเรียงตามลำดับได้ดังนี้ แอลพีจี โลหะหนัก เฮฟวีเนฟทา เคโรซีน โลหะแก๊สออยล์ และส่วนที่หนักที่สุดคือ เอทีบี (Atmospheric Tower Bottom) ซึ่งจะออกทางด้านล่างของหอกลั่น (LG Engineering Co. Ltd. Seoul Korea, 1995a)

เอทีบีจะเป็นส่วนน้ำมันหนักที่ไม่สามารถกลั่นแยกภายใต้บรรยากาศ แต่สามารถกลั่นแยกภายใต้ความดันสูญญากาศ โดยจะผ่านเข้าหอกลั่นสูญญากาศอีกครั้ง จนได้ผลิตภัณฑ์เป็นน้ำมันหล่อลื่นพื้นฐาน และวีอาร์ (Vacuum Residue) ซึ่งจะเป็นวัตถุดิบสำหรับผลิตแอลฟิลทิน (LG Engineering Co. Ltd. Seoul Korea, 1995b)

ความสำเร็จในการดำเนินธุรกิจโรงกลั่นนั้น ขึ้นอยู่กับความสามารถในการจัดการที่ดี เริ่มตั้งแต่การจัดการวัตถุดิบ กระบวนการผลิต และผลิตภัณฑ์ต่าง ๆ รวมทั้งกากของเสีย ดังนั้นในปัจจุบันจึงมีการจัดหาระบบต่าง ๆ มาช่วยในการทำงาน โดยเฉพาะการนำคอมพิวเตอร์

และโปรแกรมคอมพิวเตอร์ต่าง ๆ เข้ามาช่วยมากมาย ตัวอย่าง เช่น โปรแกรมพิมส์ (PIMS) ทำหน้าที่ในการควบคุม และเลือกวัตถุดิบ

โปรแกรมไฮซิส (Hysys) เป็นโปรแกรมที่ใช้ในการออกแบบกระบวนการผลิต และสร้างแบบจำลองกระบวนการผลิต จากความสามารถในการคำนวณ และสร้างแบบจำลองโครงข่ายการผลิตที่ซับซ้อน จึงสามารถใช้โปรแกรมไฮซิสเพื่อจำลองกระบวนการผลิตเพื่อคำนวณหาสภาวะปฏิบัติการที่เหมาะสมสำหรับการผลิตทำให้เกิดประสิทธิภาพในการผลิตสูงสุดสำหรับวัตถุดิบแต่ละชนิด และผลิตภัณฑ์ที่มีคุณสมบัติแตกต่าง

วิทยานิพนธ์ฉบับนี้จะเสนอการสร้างแบบจำลองและออปติไมซ์หน่วยการกลั่นความดันบรรยากาศและสุญญากาศ ซึ่งเป็นหน่วยผลิตหลักที่สำคัญ เนื่องจากเป็นหน่วยผลิตเริ่มต้นของอุตสาหกรรมปิโตรเลียม ผลิตภัณฑ์จากหน่วยผลิตดังกล่าวจะใช้เป็นสารป้อนของหน่วยผลิตอื่น ๆ โดยใช้โปรแกรมไฮซิสเวอร์ชัน 2.2 แบบสถานะคงตัวของบริษัทไฮโปรเทค (Hyprotech)

1.2 วัตถุประสงค์

- 1.2.1 สร้างแบบจำลองหน่วยการกลั่นความดันบรรยากาศและสุญญากาศ เพื่อหาสภาวะปฏิบัติการสำหรับวัตถุดิบที่ใช้ในกระบวนการทำให้ได้ผลิตภัณฑ์ที่มีคุณสมบัติตามต้องการ
- 1.2.2 ออปติไมซ์แบบจำลองที่สร้างไว้ เพื่อให้การใช้ทรัพยากรมีประสิทธิภาพสูงสุด

1.3 ขอบเขตงานวิจัย

- 1.3.1 ใช้โปรแกรมไฮซิส เวอร์ชัน 2.2 แบบสถานะคงตัว
- 1.3.2 ใช้สมการสภาวะของเพ็งโรบินสัน (Peng Robinson)

1.4 ประโยชน์ที่ได้รับ

สามารถลดเวลาในการปรับแต่งกระบวนการ และทรัพยากรที่ต้องใช้ ทำให้ได้ผลิตภัณฑ์ที่ต้องการเป็นปริมาณมากที่สุด ลดปริมาณผลิตภัณฑ์ที่มีคุณภาพสูงกว่าที่กำหนด รวมทั้งทำให้ต้นทุนการผลิตลดลง นอกจากนี้ยังใช้ในการหาความสามารถและข้อจำกัดของหน่วยการผลิตที่มีอยู่ ในกรณีที่ต้องการปรับปรุงหรือขยายกำลังการผลิต

บทที่ 2

ทฤษฎีและผลงานวิจัยที่เกี่ยวข้อง

2.1 การจำลองกระบวนการผลิต

ปัจจุบันมีการประยุกต์ใช้โปรแกรมคอมพิวเตอร์ในอุตสาหกรรมเพิ่มขึ้น เนื่องจากมีการพัฒนาให้สามารถใช้งานได้สะดวกและรวดเร็ว ในงานด้านอุตสาหกรรมเคมีก็มีโปรแกรมคอมพิวเตอร์อยู่มากมาย โดยผู้ประกอบการสามารถประยุกต์ใช้ตามความเหมาะสม เช่น โปรแกรมด้านการจำลองกระบวนการ การวิเคราะห์ระบบท่อ และการควบคุมกระบวนการแบบกะ นอกจากนี้ยังมีโปรแกรมที่เกี่ยวข้องกับอุตสาหกรรมเคมีทางอ้อมในด้านบริหารธุรกิจ และงานโครงการ เช่น การจัดการด้านเอกสาร การจำลองทางคณิตศาสตร์ สถิติ การออกแบบ และการจัดการฐานข้อมูล

โปรแกรมทางด้านวิศวกรรมเคมีมีการเปลี่ยนแปลง และพัฒนาไปอย่างรวดเร็ว โปรแกรมไฮซิด เป็นโปรแกรมเพื่อการจำลองแบบกระบวนการผลิต โดยเป็นการพัฒนาของบริษัทไฮโปรเทค

การใช้โปรแกรมคอมพิวเตอร์ในงานด้านกระบวนการผลิตในการแก้ปัญหาในด้านต่าง ๆ ในปัจจุบันนี้มีจุดประสงค์ 2 ประการ ประการแรกคือ ด้านการออกแบบที่เน้นไปในด้านการทำนายผลที่จะเกิดขึ้น และประการที่สองคือ การจำลองกระบวนการผลิตโดยการสร้างแบบจำลองจากกระบวนการผลิตจริง แล้วใช้แบบจำลองนั้นเพื่อการเรียนรู้พฤติกรรมของระบบงานหรือเพื่อประเมินผลการใช้กลยุทธ์ต่าง ๆ ในการดำเนินงานของระบบภายใต้ข้อกำหนดที่วางไว้ (Shannon, 1975)

การจำลองกระบวนการผลิตสามารถแบ่งเป็นสองส่วนคือ การสร้างแบบจำลอง และการนำเอาแบบจำลองนั้นไปใช้งานเชิงวิเคราะห์ เพื่อประโยชน์ในการอธิบายพฤติกรรมและเพื่อการปรับปรุงการดำเนินงานของกระบวนการผลิตจริง

การจำลองกระบวนการผลิตถูกนำมาใช้เพื่อลดต้นทุนการผลิต ลดมลภาวะ เพิ่มประสิทธิภาพในการผลิต เพิ่มความปลอดภัย พัฒนาผลิตภัณฑ์ใหม่ และเพิ่มคุณภาพของสินค้าในกระบวนการผลิต ความก้าวหน้าด้านคอมพิวเตอร์อย่างรวดเร็ว ทำให้ปัจจุบันการจำลองแบบปัญหา หรือการจำลองกระบวนการผลิตด้วยโปรแกรมคอมพิวเตอร์เป็นวิธีที่นิยม อีกทั้งตัวจำลองแบบกระบวนการที่ใช้ในการสร้างแบบจำลองมีให้เลือกมากมาย มีความยืดหยุ่นสูง สามารถประยุกต์ใช้กับอุตสาหกรรมหลายประเภท จึงมีการนำไปใช้แพร่หลาย

เหตุผลที่ต้องสร้างแบบจำลองเลียนแบบกระบวนการผลิตแทนการทดลองกับกระบวนการผลิตจริง เพราะการทดลองกับกระบวนการผลิตจริงอาจทำให้เกิดปัญหาต่อกระบวนการ

ผลิตและยากที่จะควบคุมเงื่อนไขต่างๆ ของการทดลองให้คงที่ ยิ่งไปกว่านั้นผลการทดลองที่ได้แต่ละครั้งของการทดลอง อาจจะไม่ใช่ผลที่เกิดขึ้นภายใต้เงื่อนไขกลุ่มเดียวกันหรืออาจจะเป็นไปไม่ได้กับทุกรูปแบบที่ต้องการ การทดลองกับกระบวนการผลิตจริงอาจจะต้องใช้เวลาและค่าใช้จ่ายจำนวนมากจึงจะได้ข้อมูลเพียงพอสำหรับการวิเคราะห์ (Thongpraserd, 1996)

จากอุปสรรคต่าง ๆ ที่เกิดขึ้น ทำให้ไม่สามารถทำการทดลองกับกระบวนการผลิตจริงได้จึงต้องใช้การจำลองกระบวนการผลิตในการช่วยแก้ปัญหา อย่างไรก็ตามการใช้โปรแกรมคอมพิวเตอร์ในการจำลองกระบวนการผลิตนั้น ผู้ใช้ต้องมีความเข้าใจเกี่ยวกับปัญหาดีพอ และสามารถเขียนสมการทางคณิตศาสตร์ของปัญหานั้น ๆ ได้ นอกจากนั้นจะต้องรู้ชัดเจนว่าวัตถุประสงค์ที่ต้องการคืออะไร และสุดท้ายผู้ใช้ต้องมีประสบการณ์หรือมีความสามารถในการตีความคำตอบที่ได้จากโปรแกรมคอมพิวเตอร์เพื่อที่จะแยกแยะและตัดสินใจในการนำผลที่ได้นี้ไปใช้

2.2 การกลั่น (Distillation)

การกลั่นเป็นกระบวนการแยกสารผสม โดยอาศัยความแตกต่างกันระหว่างความดันไอ (Vapor Pressure) ขององค์ประกอบภายในสารผสมแต่ละชนิด เมื่อองค์ประกอบภายในมีความดันไอไม่เท่ากัน สารที่มีความดันไอสูง จะมีจุดเดือดต่ำและกลายเป็นไอง่ายกว่าสารที่มีความดันไอต่ำ เมื่อสารที่เป็นไอง่าย กลั่นแยกออกมา ส่วนสารที่มีจุดเดือดสูง จะยังคงเป็นของเหลวอยู่

2.2.1 การกลั่นแบบแฟลช (Flash distillation)

การกลั่นแบบแฟลช เป็นการกลั่นซึ่งสารผสมเหลวส่วนหนึ่ง ถูกทำให้กลายเป็นไอ ซึ่งองค์ประกอบไอ จะอยู่ในสภาพสมดุล กับองค์ประกอบของเหลวที่เหลือ จากนั้นก็จะทำการแยกไอออกไปทำการควบแน่นต่อไป

2.2.2 การกลั่นแบบดิฟเฟอเรนเชียล (Differential distillation)

การกลั่นแบบดิฟเฟอเรนเชียล เป็นการกลั่นแบบแบทช์ (batch) ซึ่งสารผสมที่ต้องการกลั่นจะได้รับความร้อนจนถึงจุดฟอง (Bubble point) ส่วนที่กลายเป็นไอก็จะถูกส่งออกไป ทำการควบแน่นและแยกออกจากภาชนะกลั่น การกลั่นแบบนี้ของเหลวที่เหลือในภาชนะกลั่นจะมีการเปลี่ยนแปลงขององค์ประกอบ ของของเหลวอยู่ตลอดเวลา เนื่องจากสารที่ระเหยได้ง่ายกว่าจะกลายเป็นไอในสัดส่วนที่มากกว่า ซึ่งเป็นผลให้จุดฟองของการกลั่นจะค่อย ๆ เพิ่มขึ้น

เนื่องจากองค์ประกอบของของเหลว แปรเปลี่ยนในระหว่างการกลั่น องค์ประกอบของไอก็จะแปรเปลี่ยนตามไปด้วย อย่างไรก็ตามก็ถือว่าเป็นการเกิดสภาพสมดุล ระหว่างไอและของเหลวในภาชนะที่เหลืออยู่ในเวลานั้น

2.2.3 การกลั่นด้วยไอน้ำ (Steam distillation)

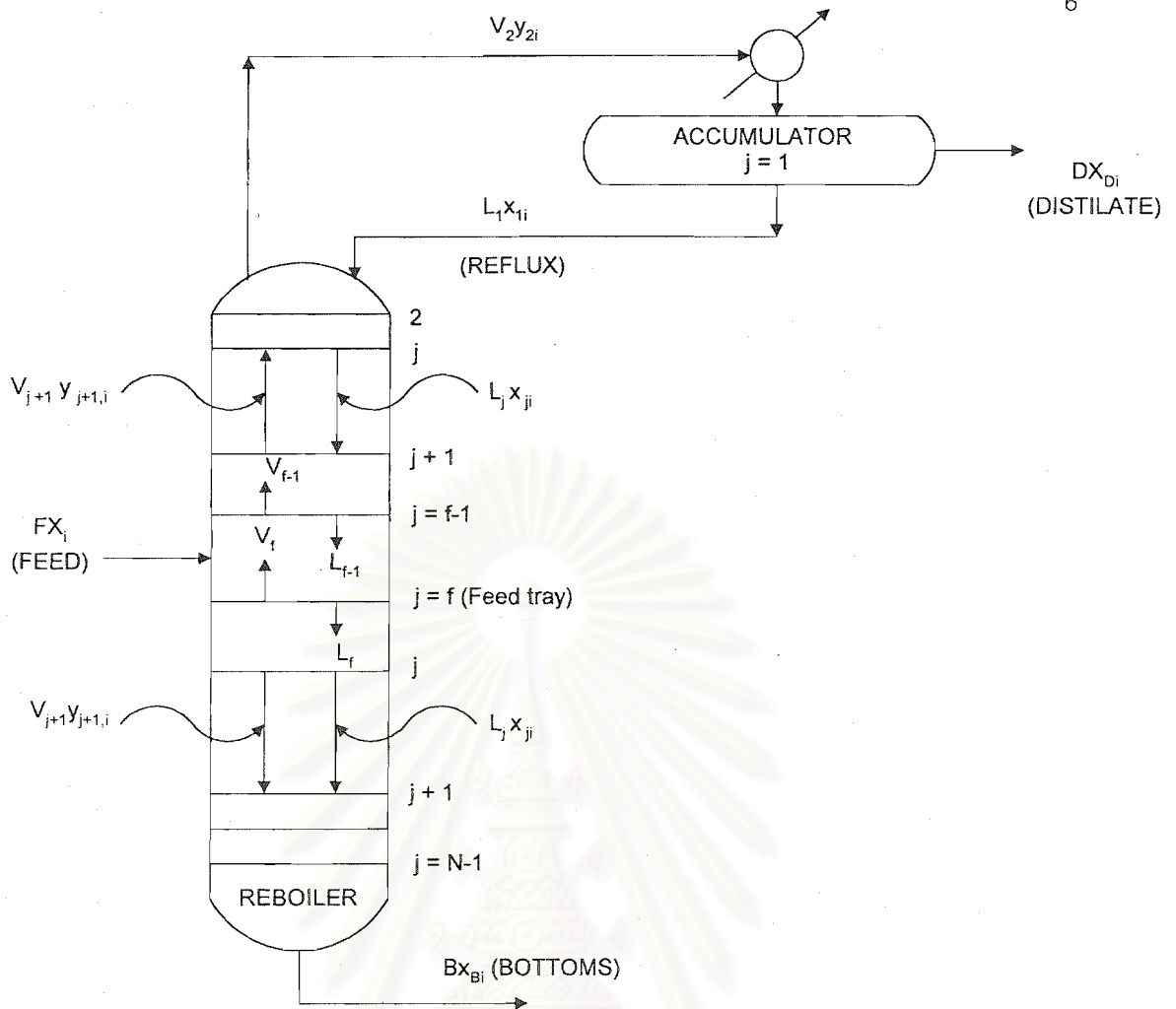
การกลั่นด้วยไอน้ำ เป็นการกลั่นที่มีการผ่านไอน้ำ เข้ามาสัมผัสโดยตรงกับสารผสมที่จะทำการกลั่นไม่ว่าจะเป็นกรรมวิธีแบบแบทช์ หรือ แบบต่อเนื่อง โดยทั่วไปแล้วการกลั่นด้วยไอน้ำ เป็นการกลั่นแบบหนึ่งที่มีการเติมสารประกอบเฉื่อยเพิ่มลงไป เช่น ไนโตรเจน คาร์บอนไดออกไซด์ และ อื่น ๆ แต่โดยทั่วไปนิยมใช้ไอน้ำเพราะค่าใช้จ่ายน้อยและใช้ได้ง่าย การกลั่นอาจจะได้รับความร้อนจากไอน้ำเพียงอย่างเดียว หรือแหล่งความร้อนอื่นเพิ่มเติมด้วยก็ได้

2.2.4 การกลั่นลำดับส่วน (Fractional Distillation)

การกลั่นลำดับส่วน เป็นการกลั่นที่ต้องการให้ได้ผลิตภัณฑ์ที่บริสุทธิ์มาก โดยการกลั่นแบบดีฟเฟอเรนเชียล หรือแบบเฟลช ไม่สามารถกระทำได้ และเป็นการกลั่นที่ได้ผลดีและประหยัดพลังงาน อุปกรณ์การกลั่นแบบนี้มักจะเป็นสเตจ (Stage) ซึ่งเป็นที่นิยมแพร่หลาย การกลั่นลำดับส่วนอาจอธิบายได้ว่าเป็นการกลั่นแบบเฟลชมาต่อกันเข้าเป็นอนุกรม โดยผลผลิตที่ได้จากสเตจหนึ่งจะเป็นกระแสป้อนเข้าสู่สเตจถัดไป จะเห็นว่าไอที่ออกจากสเตจหนึ่ง ๆ จะผ่านเข้าไปในสเตจที่อยู่ชั้นบน ในขณะที่ของเหลวจะผ่านเข้าสู่สเตจที่ต่ำลงไป ในขณะที่เดียวกันสเตจนี้จะรับไอที่มาจากสเตจชั้นล่าง และของเหลวที่ออกจากสเตจชั้นบน ด้วยกระบวนการดังกล่าว ความเข้มข้นของสารที่ระเหยง่ายกว่าจะเพิ่มมากขึ้นในชั้นของไอ ตามทิศทางของการไหลของของเหลว โดยที่อุณหภูมิของการกลั่นจะลดลงตามทิศทางการไหลของไอ

สเตจจะทำหน้าที่ให้ของเหลวและไอสัมผัสกันอย่างทั่วถึง ซึ่งทำให้เกิดการถ่ายโอนมวลสารและพลังงาน โดยที่ของเหลวและไอที่ออกจากสเตจหนึ่ง ๆ จะอยู่ในสถานะสมดุลซึ่งกันและกัน

จะเห็นว่า ไอ V_{j+1} จะขึ้นมาจากสเตจที่ $j+1$ เข้าสู่สเตจ j ในขณะที่ของเหลว L_{j-1} ไหลจากสเตจที่ $j-1$ เข้าสู่สเตจ j ดังรูปที่ 2.1



รูปที่ 2.1 รายละเอียดของหอกลั่น สำหรับสมการคณิตศาสตร์

สมการคณิตศาสตร์ของหอกลั่น

- สมการสมดุล

$$y_{ji} = K_j x_{ji} \quad (j=1,2,\dots,N)$$

$$\sum_{i=1}^c y_{ji} = 1 \quad (j=1,2,\dots,N)$$

$$\sum_{i=1}^c x_{ji} = 1 \quad (j=1,2,\dots,N)$$

- สมการสมดุลมวล

$$V_{j+1} y_{j+1,i} = L_j x_{ji} + DX_{Di} \quad (j=1,2,\dots,f-2)$$

$$V_j y_{ji} + V_F y_{Fi} = L_{f-1} x_{f-1,i} + DX_{Di}$$

$$V_{j+1} y_{j+1,i} = L_j x_{ji} - Bx_{Bi} \quad (j=f,f+1,\dots,N-1)$$

$$FX_i = DX_{Di} + Bx_{Bi}$$

- สมการสมดุลเอนทาลปี

$$\begin{aligned} V_{j+1}H_{j+1} &= L_jh_j + DH_D + Q_C & (j=1,2,\dots,f-2) \\ V_fH_f + V_fH_f &= L_{f-1}h_{f-1} + DH_D + Q_C \\ V_{j+1}H_{j+1} &= L_jh_j - Bh_B + Q_R & (j=f,f+1,\dots,N-1) \\ FH &= Bh_B + DH_D + Q_C - Q_R \end{aligned}$$

โดย Q_R = ปริมาณความร้อนเข้าที่ reboiler
 Q_C = ปริมาณความร้อนออกที่ condenser
 j เป็น stage index
 i เป็น component index

2.3 การออปติไมซ์

การออปติไมซ์คือเครื่องมือวิเคราะห์ที่สำคัญในกระบวนการตัดสินใจ ไม่ว่าจะเป็นปัญหาทางด้าน การดำเนินงาน การออกแบบ การจัดการของโรงงานกระบวนการเคมีและโรงงานอุตสาหกรรมอื่น ๆ ลักษณะปัญหาการออปติไมซ์และเทคนิคครอบคลุมถึงการหาคำตอบ ตลอดจนอธิบายถึงผลประโยชน์ที่จะได้รับและการประยุกต์ใช้ในอุตสาหกรรมเคมี ปิโตรเคมี ปิโตรเลียม และอุตสาหกรรมอื่น ๆ

การทำออปติไมซ์เซชันนั้นควรจะทราบว่าปัจจัยใดที่มีผลต่อการทำออปติไมซ์เซชัน เช่นการออปติไมซ์การออกแบบหม้อต้มซ้ำจะถูกต้องหรือไม่ขึ้นกับกระบวนการ ระบบของไหล ระบบท่อ และระบบการถ่ายเทความร้อน ซึ่งวิศวกรกระบวนการผลิตต้องระบุให้ได้ถึงการทำงานของความร้อน อุณหภูมิที่กลับมา สื่อความร้อน และคุณสมบัติของของไหลในกระบวนการผลิตทั้งทางกายภาพ และเทอร์โมไดนามิกส์ รวมถึงการขนถ่าย วิศวกรต้องเป็นผู้กำหนดจำนวนชั้นในหอกลั่น ระดับของเหลว อัตราการหมุนเวียน รวมทั้งเปอร์เซ็นต์โอเบี่ยงตัน ซึ่งเหล่านี้มีผลต่อหม้อต้มซ้ำในช่วงสุดท้าย

ในปัจจุบันการทำออปติไมซ์เซชันได้พัฒนาถึงขั้นที่มีการการทำออปติไมซ์เซชันแบบออนไลน์คือรวมระบบ APC (Advanced Process Control) เข้ากับการทำออปติไมซ์เซชันดังเช่นที่โรงกลั่น Lanzhou Petroleum ในประเทศจีนโดยสร้างแบบจำลองของหอกลั่นน้ำมันดิบขึ้นมาแล้วใช้แบบจำลองการขนถ่ายมวลมาทำออปติไมซ์เซชัน ผลที่ได้ก็จะมีผลถูกต้องเนื่องมาจากระบบ APC ซึ่งได้คำนึงถึงตัวแปรที่จะทำให้เกิดความผันผวนอันได้แก่ อัตราการไหล

ของสารตั้งต้น และความดันชั้นบนสุดของหอกลับ ผลการออปติไมซ์เซชันที่ถูกต้องตามเงื่อนไขบังคับ (Chen, 2001)

การประหยัดค่าใช้จ่ายในการผลิตของโรงงานปิโตรเคมี จากการควบคุมกระบวนการผลิตด้วยวิธีการที่ทันสมัยนั้นมีหลักการอยู่ที่การผลิตจะเปลี่ยนแปลงภาวะการทำงานคงตัวไปเรื่อย ๆ เพื่ออยู่ในจุดที่ดีกว่าหรือที่เรียกว่าเป็นจุดออปติมัม ซึ่งจะเปลี่ยนแปลงตามภาวะเวลาของสิ่งเหล่านี้

- 1 ข้อจำกัดของระบบยูลิตี (ขึ้นอยู่กับแต่ละชั่วโมงและวัน)
- 2 ความผันแปรของวัตถุดิบ (ขึ้นอยู่กับแต่ละวัน)
- 3 ปริมาณความต้องการของผลิตภัณฑ์ที่เปลี่ยนไป (ขึ้นอยู่กับแต่ละวันและสัปดาห์)
- 4 ข้อจำกัดของอุปกรณ์ (ขึ้นกับแต่ละวันและแต่ละสัปดาห์)
- 5 ความต้องการของตลาด (ขึ้นกับแต่ละสัปดาห์)
- 6 การเปลี่ยนแปลงคุณลักษณะเฉพาะของผลิตภัณฑ์ (ขึ้นกับแต่ละสัปดาห์และเดือน)
- 7 สมบัติของตัวเร่งปฏิกิริยา (ขึ้นกับแต่ละเดือน)
- 8 การเปลี่ยนค่าคอนฟิกรูเรชันของอุปกรณ์ (ขึ้นกับแต่ละเดือน)

การทำ RTO (Real Time/Online Optimization) ต้องพยามเก็บข้อมูลต่าง ๆ ระหว่างกระบวนการที่เป็นภาวะคงตัวเพื่อให้ปรับพารามิเตอร์ในแบบจำลอง เมื่อแบบจำลองสอดคล้องกับกระบวนการจริง ก็นำไปใช้เพื่อกำหนดภาวะการทำงานที่จะทำให้ได้กำไรสูงสุด โดยภาวะดังกล่าวจะเปลี่ยนไปได้เรื่อย ๆ

2.3.1 ความหมายการออปติไมซ์

การออปติไมซ์อาจกล่าวได้โดยสรุปและง่าย ๆ คือ การใช้เครื่องมือทางคณิตศาสตร์เพื่อหาคำตอบที่ดีที่สุดของปัญหานั้น ๆ

ออปติไมซ์เซชันมีอยู่ในทุกสาขาของวิทยาศาสตร์ วิศวกรรมศาสตร์ และธุรกิจ ปัญหาทางวิศวกรรมที่จะนำมายกตัวอย่างคือ มีกระบวนการผลิตที่สามารถเขียนเป็นสมการคณิตศาสตร์ได้ และมีข้อจำกัดทางด้านสมรรถนะของกระบวนการผลิต เช่น กำไร ต้นทุนวัตถุดิบ หรือพลังงาน และเราต้องการหาค่าของปริมาณเหล่านี้ที่ดีที่สุดหรือเหมาะสมที่สุดสามารถใช้วิธีการทางการออปติไมซ์หาคำตอบที่ต้องการได้

ปัญหาทางด้านการดำเนินงานในโรงงาน การออกแบบกระบวนการผลิตทางวิศวกรรมเคมี มีอยู่เป็นจำนวนมากและอาจเป็นไปได้ที่ปัญหาเหล่านี้มีคำตอบมากมายเช่นกัน ออปติไมซ์จะช่วยเลือกคำตอบที่ดีที่สุดจากเซตของคำตอบที่มีอยู่ โดยวิธีการทางคณิตศาสตร์ และเนื่องจากการหาคำตอบนี้มีความยุ่งยากซับซ้อน จึงจำเป็นต้องใช้ ซอฟต์แวร์ และ

คอมพิวเตอร์ช่วย แต่การใช้ซอฟต์แวร์และคอมพิวเตอร์นั้น จะต้องมีความเข้าใจเกี่ยวกับปัญหาดีพอ สามารถเขียนสมการทางคณิตศาสตร์ของปัญหานั้น ๆ ได้ และรู้ชัดเจนว่าวัตถุประสงค์ทางด้านสมการที่ต้องการคืออะไร ไม่ว่าจะเป็นกำไรสูงสุด หรือว่าต้นทุนวัตถุดิบและพลังงานน้อยที่สุด สิ่งสุดท้ายคือต้องมีประสบการณ์หรือความสามารถในการตีความคำตอบที่ได้จากโปรแกรมคอมพิวเตอร์ เพื่อที่จะแยกแยะและตัดสินใจในการนำผลที่ได้นี้ไปใช้

การทำออปติไมซ์เซชันในกระบวนการผลิตทางเคมีประกอบด้วย 3 ส่วนหลักคือ

- การทำออปติไมซ์เซชันในการออกแบบกระบวนการผลิตจะทำใน การสังเคราะห์แผนภาพลำดับการทำงาน การออกแบบอุปกรณ์ คุณลักษณะเฉพาะของการภาวะปฏิบัติการ
- การทำออปติไมซ์เซชันในการควบคุมการผลิต หมายถึง การทำพารามิเตอร์และการควบคุมภาวะ การให้คำแนะนำการควบคุมการผลิต RTO และ Predicative Control
- การใช้เทคนิคของออปติไมซ์เซชัน ได้แก่ การทำโปรแกรมแบบควอดราติก การทำโปรแกรมแบบไม่เชิงเส้น การทำออปติไมซ์ปัญหาการควบคุม และปัญหาแบบผสมระหว่างความต่อเนื่องและไม่ต่อเนื่องรวมทั้งแบบจำนวนจริงผสม (Mixed-Integer and Hybrid Discrete-continuous Problems)

2.3.2 สาเหตุการทำออปติไมซ์

การทำออปติไมซ์เซชันคือการศึกษาว่าอะไรคือสิ่งที่ดีที่สุดโดยคำนี้มีการใช้มากในหลายสาขาวิชาซึ่งต้องอาศัยหลักการทางคณิตศาสตร์เข้ามาช่วย และต่อมาก็มีการใช้คอมพิวเตอร์ในช่วงศตวรรษที่ 20

การตัดสินใจหลาย ๆ อย่างการเลือกคำตอบให้ได้ผลดีที่สุดคือการทำออปติไมซ์เซชัน เช่นในการออกแบบโดยเริ่มจากขั้นแรกซึ่งต้องรู้ว่าตัวแปรอะไรที่มีผลต่อระบบ และขั้นที่สองคือต้องรู้วิธีการวัดผลที่ได้จากระบบ และสุดท้ายจะต้องวัดค่าตัวแปรที่ทำให้ได้ผลดีที่สุด (Douglass J. Wilde, 1967)

ในการดำเนินงานของโรงงาน สิ่งที่ต้องการคือสมรรถนะในการดำเนินงาน อย่างเช่น การปรับปรุงผลผลิตของผลิตภัณฑ์ที่มีค่าสำคัญ ลดการใช้พลังงาน เพิ่มกำลังการผลิต และให้มีช่วงเวลาทำงานระหว่างการหยุดดำเนินการนานขึ้น การทำออปติไมซ์เซชัน ยังสามารถใช้ในการลดค่าใช้จ่ายในการบำรุงรักษา ลดการสึกหรอของเครื่องจักรและการใช้พลังงานให้มีประสิทธิภาพ

การคำนวณผลประโยชน์ที่ได้รับจะต้องทำด้วยความระมัดระวัง ตัวแปรทางด้านกรดำเนินงานและการออกแบบในโรงงานส่วนใหญ่ จะมีความเกี่ยวโยงกันเสมอ ยกตัวอย่างเช่น

การประหยัดพลังงานเพียง 5% ทางด้านค่าใช้จ่ายของหอกลิ้น อาจจะทำให้โครงการประหยัดพลังงานมีความคุ้มค่า อย่างไรก็ตามการคำนวณผลประโยชน์ในหน่วยปฏิบัติการกลั่นนั้น ไม่ใช่การคำนวณเพียงจุดใดจุดหนึ่ง เช่นการพิจารณาเฉพาะเครื่องแลกเปลี่ยนความร้อน คอนเดนเซอร์และหม้อต้มซ้ำ การลดพลังงานที่ใช้ในหม้อต้มซ้ำอาจส่งผลต่อความบริสุทธิ์ของผลิตภัณฑ์ และนั่นหมายถึงกำไรที่อาจลดลง ดังนั้นในการทำออปติไมซ์จะต้องคิดถึงความเสี่ยงของของตัวแปรต่าง ๆ ของกระบวนการที่เกี่ยวกับต้นทุนให้รอบด้าน

ข้อโต้แย้งเกี่ยวกับความน่าเชื่อถือการนำการโปรแกรมออปติไมซ์เซชันไปใช้เกิดขึ้น เพราะมีความไม่แน่นอนเกี่ยวกับโมเดลทางคณิตศาสตร์ของกระบวนการ หรือข้อมูลที่ใช้ในการสร้างโมเดลนั้น ดังนั้นวิศวกรจะต้องมีวิจารณญาณในการใช้เทคนิคการออปติไมซ์ และนำผลที่ได้รับจากการออปติไมซ์ไปใช้ โดยต้องพิจารณาถึงความไม่แน่นอน หรือความถูกต้องแม่นยำของโมเดลและของข้อมูลที่ใช้รอบคอบ คำตอบที่ได้จากการออปติไมซ์สามารถนำไปใช้ โดยถือว่าเป็นขีดจำกัดบน นอกจากนั้นในการประเมินว่าผลของพารามิเตอร์ที่มีความไม่แน่นอนอย่างไร มีผลต่อคำตอบอย่างไร เราก็สามารถใช้การวิเคราะห์ความไว ส่วนใหญ่แล้วคำตอบที่ได้ มักจะไม่ถูกรบกวนโดยพารามิเตอร์บางตัวที่มีความไวต่ำ ดังนั้นการหาค่าที่ถูกต้องแม่นยำของค่าพารามิเตอร์เหล่านี้จึงไม่จำเป็นมากนัก นอกจากนี้โดยธรรมชาติของกระบวนการผลิตและค่าพารามิเตอร์เหล่านี้ มักจะไม่มีค่าที่ตายตัว จะเปลี่ยนแปลงไปตามเวลาและเงื่อนไขต่าง ๆ

2.3.3 ตัวอย่างการนำไปใช้ของการทำออปติไมซ์เซชัน

การออปติไมซ์เซชันสามารถนำไปใช้ได้หลายวิธี ดังตัวอย่างต่อไปนี้

1. การหาภาวะการผลิตที่ดีที่สุดของหน่วยการผลิต เช่น ในหอกลิ้นและหอดูดซับ
2. การออกแบบกระบวนการของโรงงาน
3. การตรวจสอบความถูกต้องข้อมูลของโรงงานจากการวัดเพื่อนำมาใช้ประโยชน์อื่น
4. การหาเส้นทางการกระจายน้ำมันดิบและผลิตภัณฑ์ของโรงกลั่น
5. ค่าการจัดสรรทรัพยากรหรือการใช้งานของหน่วยการผลิตต่าง ๆ
6. การออกแบบขนาดและเลย์เอาท์ของท่อส่ง
7. การหาทำเลที่ตั้งที่ดีที่สุดของโรงงาน
8. การลดค่าใช้จ่ายของการเก็บสินค้าหรือผลิตภัณฑ์
9. การหากำหนดการบำรุงรักษาและการทดแทนอุปกรณ์การผลิต
10. การวางแผนและทำกำหนดการเกี่ยวกับการก่อสร้าง
11. การทำออปติไมซ์และการควบคุมการกลั่นแบบต่อเนื่อง

12. การทำออปติไมซ์และการควบคุมการกลั่นแบบกะ
13. การทำออปติไมซ์และการควบคุมการกลั่นรวมแบบกะและแบบต่อเนื่องรวมกัน
14. การทำออปติไมซ์การออกแบบและดำเนินงานกระบวนการโครมาโตกราฟีค

2.3.4 ขอบเขตการทำออปติไมซ์เซชัน

การทำออปติไมซ์เซชันมีหลายระดับนับตั้งแต่ คอมเพล็กซ์ของโรงงานรวมถึงแฟซิลิตี้ ไปจนถึงหน่วยการผลิตย่อย ๆ กล่าวโดยสรุปคือ ปัญหาการออปติไมซ์เซชันมีได้ 3 จุดดังนี้

- ระดับโรงงาน
- ระดับกระบวนการผลิตหรือหน่วยปฏิบัติการ
- ระดับอุปกรณ์การผลิตแต่ละชิ้นในโรงงาน

ความซับซ้อนของการวิเคราะห์ของการหาคำตอบอาจมีลักษณะต่างๆ ไป หรืออาจทำการตรวจวัดรายละเอียดปลีกย่อย ขึ้นกับความต้องการ ความแม่นยำหรือ ความละเอียดถูกต้องของข้อมูล และเวลาที่มีในการทำออปติไมซ์ โดยทั่วไปบริษัททางอุตสาหกรรมมีปัญหาในด้านการออปติไมซ์อยู่ 3 ระดับคือ

- การจัดการ
- การดำเนินการผลิต
- การออกแบบเครื่องมือและกระบวนการผลิต

การตัดสินใจที่เกี่ยวกับการจัดการได้แก่ การวิเคราะห์โครงการ การเลือกผลิตภัณฑ์ที่จะผลิต งบประมาณของบริษัท การลงทุนทางด้านการตลาด และการวิจัยและพัฒนา การสร้างโรงงานใหม่

การดำเนินการผลิตเพื่อหาสมรรถนะการผลิตที่ดีที่สุด มักจะทำออปติไมซ์ในความถี่ค่อนข้างมาก และหมายถึงว่าวิศวกรต้องหาว่าสมรรถนะการผลิตที่ดีที่สุดในช่วงเวลาที่เป็น ชั่วโมง วัน หรือสัปดาห์ หรือแม้กระทั่งในบางกรณีจะต้องทำการออปติไมซ์ทุกนาที การหาสมรรถนะการผลิตที่ดีที่สุดในด้านการควบคุม คือในการหาเซตพอยท์ของกระบวนการผลิต เช่น อุณหภูมิ ความดัน หรืออัตราการไหล เมื่อภาวะการตลาดหรือภาวะการผลิตเปลี่ยนไป ทั้งนี้เพื่อให้มั่นใจได้ว่าการดำเนินงานทางด้านการผลิตอยู่ที่จุดที่ดีที่สุดตลอดเวลา นอกจากนั้น การดำเนินงานของโรงงานอาจเกี่ยวข้องกับการจัดสรรวัตถุดิบ การใช้อยูทิลิตี้ เช่นไอน้ำ หรือน้ำหล่อเย็น

การดำเนินงานในโรงงานยังเกี่ยวข้องกับภาพรวมของการขนส่ง การกระจายหรือจัดส่งผลิตภัณฑ์โดยให้มีค่าใช้จ่ายต่ำสุด

ปัญหาทางด้านการออกแบบกระบวนการผลิตและอุปกรณ์การผลิตจะเกี่ยวกับการเลือกประเภทของการผลิต เช่น แบบกะ หรือแบบต่อเนื่อง การเลือกชนิดของเครื่องแลกเปลี่ยนความร้อน

ปัจจัยของกระบวนการผลิตที่มีผลต่อต้นทุนหรือกำไรที่ทำให้เราควรพิจารณาการนำการออปติไมซ์มาใช้ได้แก่

- แรงจูงใจทางด้านเศรษฐศาสตร์
 - เพื่อเพิ่มผลกำไรให้มากที่สุด
 - เพื่อลดค่าใช้จ่ายให้มีค่าต่ำสุดทั้งค่าใช้จ่ายที่เกิดจากการใช้พลังงานและค่าใช้จ่ายในการปฏิบัติการ
 - เพื่อใช้วัตถุดิบที่มีอยู่ให้คุ้มค่าที่สุด
- แรงจูงใจทางด้านเทคโนโลยี
 - เพื่อให้ได้แผนการดำเนินงานที่ดีที่สุด
 - เพื่อเพิ่มปริมาณผลิตภัณฑ์หรือคุณภาพของผลิตภัณฑ์
 - เพื่อให้ได้ทางเลือกที่เหมาะสมที่สุด
 - เพื่อให้การหยุดชะงักของการปฏิบัติการของกระบวนการมีโอกาสเกิดขึ้นน้อยที่สุด

แหล่งข้อมูลที่สำคัญที่จะชี้ชัดว่าการทำออปติไมซ์ให้ประโยชน์ได้มากหรือน้อยคือ

1. รายงานทางด้านกำไรหรือขาดทุนของโรงงาน หรือหน่วยย่อย
2. บันทึกรายงานการผลิตประจำวัน หรือประจำเดือน

โรงงานเคมี ปิโตรเคมี หรือกลั่นน้ำมันมีความใหญ่โตซับซ้อน การทำออปติไมซ์ค่อนข้างเป็นงานที่ยากพอสมควรที่จะทำออปติไมซ์ได้ทั้งหมด ดังนั้นเราอาจเลือกทำออปติไมซ์เพียงบางส่วน การทำออปติไมซ์เพียงบางส่วนหมายถึงการทำออปติไมซ์เฉพาะช่วงหนึ่งของการดำเนินการผลิต โดยทั่วไปอาจจะไม่นำปัจจัยบางประการเข้ามาคิด ถึงแม้ว่าผลลัพธ์ที่ได้จะไม่ใช่มูลค่าที่ดีที่สุดก็ตาม (เพราะหามูลค่าที่ดีที่สุดไม่ได้) แต่อย่างน้อยค่าตอบที่ได้ก็จะดีกว่าเดิม

2.3.5 ขั้นตอนการทำออปติไมซ์เซชัน

ไม่มีวิธีการที่เป็นขั้นตอนหรืออัลกอริทึมวิธีใดวิธีหนึ่ง ที่สามารถใช้กับปัญหาทุกปัญหาได้อย่างมีประสิทธิภาพ การเลือกวิธีการสำหรับแต่ละกรณีขึ้นอยู่กับปัจจัยดังต่อไปนี้

- ลักษณะของฟังก์ชันวัตถุประสงค์และความชัดเจนของฟังก์ชันวัตถุประสงค์
- ธรรมชาติของเงื่อนไขบังคับ

- จำนวนตัวแปรอิสระและไม่อิสระ

เราสามารถสรุปขั้นตอนที่ใช้ในการวิเคราะห์และหาคำตอบของการออปติไมซ์ได้ 6 ขั้นตอน โดยไม่จำเป็นต้องทำตามขั้นตอนเหล่านี้ทุกประการ บางขั้นตอนอาจทำก่อนหรือสลับกันได้ แต่ในที่สุดแล้วการทำออปติไมซ์ขั้นตอนจะต้องมีขั้นตอนทั้ง 6 ประการนี้ (Donald, 1969: 1-3)

- วิเคราะห์กระบวนการการผลิต หากจำนวนตัวแปรที่เกี่ยวข้องกับปัญหามีอะไรบ้าง คุณลักษณะเฉพาะของปัญหาที่สนใจ ตั้งคำถามว่าปัญหาคืออะไร
- หาเกณฑ์สำหรับการออปติไมซ์และกำหนดฟังก์ชันวัตถุประสงค์ โดยเขียนสมการในเทอมของตัวแปรในขั้นแรกพร้อมกับสัมประสิทธิ์ สรุปว่าสิ่งที่ต้องการแท้จริงคืออะไร
- เขียนสมการคณิตศาสตร์ของปัญหา หรือหน่วยการผลิตทั้งสมการและอสมการ โดยใช้สมการดุลมวล สมการดุลพลังงาน ข้อกำหนดต่าง ๆ เงื่อนไขบังคับต่าง ๆ แยกแยะว่าตัวแปรใดบ้างเป็นตัวแปรอิสระ และตัวแปรไม่อิสระ เพื่อหาองศาของความอิสระ ตั้งคำถามให้อยู่ในรูปที่สื่อถึงวิธีการแก้ปัญหา
- ถ้าปัญหามีขนาดใหญ่ให้แยกเป็นปัญหาย่อย ๆ หรือลดความยากหรือซับซ้อนของฟังก์ชันวัตถุประสงค์และแบบจำลองของกระบวนการ ทอยอยจัดหาส่วนประกอบของคำตอบ
- เลือกเทคนิคการออปติไมซ์ที่เหมาะสมกับปัญหา ทำปัญหาให้อยู่ในรูปอย่างง่ายแล้วทำออปติไมซ์ขั้น เพื่อสังเคราะห์ปัญหา
- ตรวจสอบคำตอบที่ได้และตรวจหาความไวของผลลัพธ์ กับการเปลี่ยนแปลงของสัมประสิทธิ์บางตัวในปัญหา

2.3.6 อุปสรรคต่อการทำออปติไมซ์

อุปสรรคที่เกิดขึ้นกับการทำออปติไมซ์ขึ้นอยู่กับความซับซ้อน (เชิงเส้นหรือไม่เป็นเชิงเส้น) และความคดเคี้ยวของฟังก์ชันวัตถุประสงค์และเงื่อนไขบังคับ ถ้าฟังก์ชันวัตถุประสงค์และเงื่อนไขบังคับเป็นสมการเชิงเส้น เราสามารถใช้วิธีการที่มีประสิทธิภาพอย่างเช่น ลีเนียร์โปรแกรมมิ่ง แก้ปัญหาได้โดยไม่ยาก ถ้าฟังก์ชันวัตถุประสงค์เป็นฟังก์ชันกำลังสองที่ไม่ซับซ้อนจึงสามารถหาคำตอบได้ไม่ยาก โดยใช้วิธีการเรียกว่าควอดเดรติกโปรแกรมมิ่ง แต่ถ้าฟังก์ชันวัตถุประสงค์และเงื่อนไขบังคับเป็นฟังก์ชันคณิตศาสตร์ที่มีรูปแบบยุ่งยาก อาจไม่เจอคำตอบหรือคำตอบที่ได้ไม่ใช่คำตอบที่ออปติมัมที่สุด ปัญหาการออปติไมซ์ส่วนใหญ่ใช้โปรแกรมคอมพิวเตอร์ในการหาคำตอบ ดังนั้นปัญหาที่แท้จริงที่จะเป็นอุปสรรคต่อการนำการออปติไมซ์ไปใช้เป็นเครื่องมือในการตัดสินใจ คือผู้ใช้โปรแกรมคอมพิวเตอร์ หรือวิศวกรไม่รู้จักจริง หรือไม่มี ความเข้าใจเพียงพอระหว่างตัวปัญหาที่เกิดขึ้นกับปัญหาที่นำมาเขียนเป็นนิพจน์ทาง

คณิตศาสตร์ เพื่อจะนำไปให้คอมพิวเตอร์หาคำตอบ ประการถัดมาวิศวกรต้องมีความรู้ในการวิเคราะห์คำตอบที่ได้รับจากคอมพิวเตอร์ว่าถูกต้องและน่าเชื่อถือมากน้อยเพียงไร ปัญหาอื่น ๆ ได้แก่การเลือกโค้ดหรือโปรแกรมที่จะนำมาใช้แก้ปัญหาการออปติไมซ์

ปัญหาการออปติไมซ์เกี่ยวกับพฤติกรรมของระบบกายภาพที่มีฟังก์ชันวัตถุประสงค์และเงื่อนไขบังคับ จะทำให้วิธีการออปติไมซ์บางวิธีไม่เหมาะสมและบางครั้งคำตอบที่ได้ผิดพลาด (โดยไม่พิจารณาเรื่องความเชี่ยวชาญของวิศวกรในการฟอร์มูเลตปัญหากายภาพให้เป็นปัญหาคณิตศาสตร์)

คุณลักษณะที่จะทำให้เกิดความยุ่งยากและความล้มเหลวในการคำนวณหาคำตอบการออปติไมซ์มีดังนี้

- ฟังก์ชันวัตถุประสงค์หรือฟังก์ชันเงื่อนไขบังคับ มีความไม่ต่อเนื่องของค่าพารามิเตอร์ ยกตัวอย่างได้แก่ ราคาของคอมพิวเตอร์หรือเครื่องแลกเปลี่ยนความร้อน อาจจะไม่เปลี่ยนแปลงอย่างต่อเนื่องกับฟังก์ชันของตัวแปร เช่นขนาด ความดัน อุณหภูมิ และอื่น ๆ ผลที่ตามมาคือการเพิ่มค่าพารามิเตอร์เหล่านั้นในบางช่วงจะไม่มีผลต่อราคา ในขณะที่ในอีกช่วงหนึ่งจะมีผล

- ฟังก์ชันวัตถุประสงค์และฟังก์ชันเงื่อนไขบังคับอาจเป็นฟังก์ชันไม่เป็นเชิงเส้น ดังที่จะเห็นได้ต่อไปว่าฟังก์ชันที่ไม่เป็นเชิงเส้นก่อให้เกิดความยากลำบากอย่างไรบ้าง ในการแก้ปัญหาการออปติไมซ์

- ฟังก์ชันวัตถุประสงค์และฟังก์ชันเงื่อนไขบังคับอาจอยู่ในเทอมของตัวแปรซึ่งมีการเกี่ยวโยงกันอย่างซับซ้อน ตัวอย่างที่รู้จักกันดีคือ อุณหภูมิและความดันในถังที่มีความเกี่ยวพันกัน ถ้าอุณหภูมิสูงความดันก็จะลดและกลับกัน

- ฟังก์ชันวัตถุประสงค์หรือฟังก์ชันเงื่อนไขบังคับอาจมีพฤติกรรมที่แบนราบ ในช่วงตัวแปรบางช่วงและมีพฤติกรรมแบบเอ็กซ์โปเนนเชียลในช่วงอื่น หมายความว่าค่าของฟังก์ชันวัตถุประสงค์หรือฟังก์ชันเงื่อนไขบังคับไม่มีความไวในกรณีแรก และมีความไวมากในกรณีหลัง

- ฟังก์ชันวัตถุประสงค์อาจมีจุดออปติไมซ์เฉพาะที่ (local optimum) หลายจุด แต่เราต้องการหาจุดออปติไมซ์สูงสุด (global optimum) ถ้าจุดเริ่มต้นในการค้นหาจุดออปติไมซ์ต่างกันเราอาจได้รับคำตอบต่างกัน เราสามารถตรวจสอบได้หรือไม่ได้ว่าคำตอบที่ได้นั้นเป็นจุดออปติไมซ์สูงสุด

2.4 องค์ประกอบการทำออปติไมซ์เซชัน

ปัญหาออปติไมซ์เหล่านี้จะมีโครงสร้างคล้ายคลึงกันทำให้การศึกษาและการพัฒนาเทคนิคการออปติไมซ์ทำได้รวดเร็วขึ้น ในระยะเวลาไม่กี่ปีที่ผ่านมา โครงสร้างคล้ายคลึงกันนี้มีเฟรมเวิร์กหรือวิธีการเหมือนกันซึ่งมีองค์ประกอบจำเป็นของปัญหาทางด้านออปติไมซ์ดังนี้

2.4.1 แบบจำลองกระบวนการ

แบบจำลองกระบวนการคือแบบจำลองทางคณิตศาสตร์ที่สร้างขึ้นในการเลียนแบบเพื่อหาจุดที่เหมาะสมทั้งของแบบจำลองและกระบวนการแบบจำลองกระบวนการจะเปลี่ยนแปลงตามตัวแปรอิสระของกระบวนการซึ่งใช้เป็นเซตพอยท์ในตัวควบคุม แบบจำลองแบ่งตามความแม่นยำได้เป็นสามประเภท

- แบบจำลองทางทฤษฎีเป็นแบบจำลองที่อาศัยความรู้ด้านฟิสิกส์ เคมี และกฎต่าง ๆ มาสร้างและอธิบายแบบจำลอง ฉะนั้นแบบจำลองประเภทนี้จะสอดคล้องกับทฤษฎี
- แบบจำลองเอมไพริคัลเป็นแบบจำลองที่สร้างขึ้นจากความสัมพันธ์ของข้อมูลเข้าและออก จึงเป็นแบบจำลองที่มีความแม่นยำในช่วงจำกัด
- แบบจำลองกึ่งเอมไพริคัลเป็นแบบจำลองที่อาศัยความรู้ทางกฎและทฤษฎีต่าง ๆ ร่วมกับข้อมูลจากการทดลอง แบบจำลองนี้สามารถใช้ได้ในช่วงกว้างมากกว่าแบบจำลองเอมไพริคัลที่มีความแม่นยำในช่วงจำกัด และยังสามารถใช้ได้ในกรณีที่ตัวแปรวัดค่าไม่ได้หรือตัวแปรกระบวนการเปลี่ยนแปลงเมื่อเงื่อนไขการปฏิบัติงานเปลี่ยนไป

2.4.2 ฟังก์ชันวัตถุประสงค์

ฟังก์ชันวัตถุประสงค์หมายถึงสมการหรือกลุ่มของสมการ ที่สร้างขึ้นเพื่อใช้คำนวณหาค่าต่ำสุดหรือหาค่าสูงสุด การเลือกฟังก์ชันวัตถุประสงค์เป็นสิ่งที่สำคัญเพราะจะมีผลโดยตรงต่อการทำออปติไมซ์เซชัน

ฟังก์ชันวัตถุประสงค์แบ่งได้เป็น 3 ประเภท

- เกี่ยวกับต้นทุนการดำเนินงาน
- เกี่ยวกับการลงทุน
- เกี่ยวข้องทั้งต้นทุนการดำเนินงานและเกี่ยวกับการลงทุน

2.4.3 เงื่อนไขบังคับ

ในแต่ละขบวนการจะมีข้อจำกัดกระบวนการอยู่ ซึ่งข้อจำกัดเหล่านี้จะเป็นตัวกำหนดขอบเขตของการดำเนินกระบวนการ ขอบเขตของกระบวนการแบ่งออกเป็น

- เงื่อนไขบังคับแบบไม่เท่ากัน เป็นสมการแสดงข้อจำกัดของการออกแบบ และข้อจำกัดต่าง ๆ เนื่องจากการผลิต
- เงื่อนไขบังคับแบบเท่ากัน เป็นสมการที่แสดงข้อกำหนดของแบบจำลอง กระบวนการและผลิตภัณฑ์

2.4.4 อัลกอริทึมที่ใช้สำหรับการทำออปติไมซ์เซชัน

อัลกอริทึมที่ใช้สำหรับการทำออปติไมซ์เซชัน จะใช้แบบจำลองของกระบวนการและ ฟังก์ชันวัตถุประสงค์ ในการหาเซตพอยท์ที่เหมาะสมของกระบวนการ รูปแบบทั่ว ๆ ไปของ ปัญหาการทำออปติไมซ์เซชันสามารถเขียนในรูปของสามารคณิตศาสตร์ได้ดังนี้

มินิไมซ์หรือแมคซิไมซ์ $f(\bar{x})$, $\bar{x} \in R^n$ โดยมีเงื่อนไข

$$h_k(\bar{x}) = 0 \quad ; k = 1, \dots, K$$

$$g_j(\bar{x}) \geq 0 \quad ; j = 1, \dots, J$$

$$\bar{x}_i^L \leq \bar{x}_i \leq \bar{x}_i^U \quad ; i = 1, \dots, n$$

สำหรับปัญหาการหาค่าสูงสุดแทนด้วย

$$\max f(\bar{x}) = -\min[-f(\bar{x})]$$

$f(x)$ แทนฟังก์ชันวัตถุประสงค์

$h_k(x)$ แทนเงื่อนไขบังคับแบบเท่ากัน

$g_j(x)$ แทนเงื่อนไขบังคับแบบไม่เท่ากัน

x แทนตัวแปรอิสระ

L แทนขอบเขตล่าง

U แทนขอบเขตบน

ในการแก้สมการเพื่อหาคำตอบของการทำออปติไมซ์เซชันนั้น คำตอบที่ได้อาจมีเพียง คำตอบเดียวหรืออาจมีได้มากกว่าหนึ่งคำตอบ ขึ้นอยู่กับจำนวนตัวแปรไม่ทราบค่า และ จำนวนสมการอิสระกล่าวคือ

m_n = จำนวนสมการเงื่อนไขแบบเท่ากัน

m_g = จำนวนสมการเงื่อนไขแบบไม่เท่ากัน

p = จำนวนตัวแปรไม่ทราบค่า

$N_f = p - (m_n + m_g)$ = ดีกรีอิสระ

จากสมการข้างต้น

- 1) $N_f = 0$ หมายความว่า จำนวนตัวแปรไม่ทราบค่าเท่ากับจำนวนสมการอิสระ คำตอบในการทำออปติไมซ์เซชันมีคำตอบเดียว สามารถแก้สมการได้เลยโดยไม่ต้องอาศัยเทคนิคในการออปติไมซ์หาคำตอบ
- 2) $N_f < 0$ หมายความว่า จำนวนตัวแปรไม่ทราบค่าน้อยกว่าจำนวนสมการอิสระ ดังนั้นจึงเป็นสมการที่ไม่สามารถแก้หาคำตอบที่แน่นอนได้ นอกจากจะลดจำนวนสมการ
- 3) $N_f > 0$ หมายความว่า จำนวนตัวแปรไม่ทราบค่ามากกว่าจำนวนสมการอิสระ คำตอบในการทำออปติไมซ์จึงมีจำนวนมากมาย ซึ่งต้องใช้เทคนิคในการทำออปติไมซ์เซชันอื่น ๆ ช่วยในการหาคำตอบที่ดีที่สุด

เทคนิคการทำออปติไมซ์เซชันจะช่วยในการทำออปติไมซ์เซชันให้ได้คำตอบที่ดีที่สุด โดยแต่ละเทคนิคจะเหมาะสมกับการแก้ปัญหาแต่ละแบบ ขึ้นกับลักษณะของตัวแปร และเงื่อนไขบังคับ สำหรับวิทยานิพนธ์ฉบับนี้จะใช้เทคนิคออปติไมซ์แบบควอดเรติกแบบต่อเนื่อง (Successive Quadratic Programming: SQP) เนื่องจากเป็นเทคนิคที่เหมาะสมกับการแก้ปัญหา ที่มีเงื่อนไขแบบบังคับแบบเท่ากันหรือเงื่อนไขบังคับแบบไม่เท่ากัน และมีตัวแปรจำนวนมาก

บทที่ 3

กระบวนการผลิตของหน่วยการกลั่นความดันบรรยากาศและ สุญญากาศ

3.1 หน่วยการกลั่นความดันบรรยากาศ (Atmospheric Distillation Unit)

เป็นหน่วยการผลิตที่ทำหน้าที่กลั่นแยกน้ำมันดิบ ให้เป็นผลิตภัณฑ์ต่าง ๆ กัน โดยอาศัยคุณสมบัติทางกายภาพคือจุดเดือด ที่แตกต่างกันของสารประกอบไฮโดรคาร์บอนแต่ละชนิดในน้ำมันดิบ โดยสารประกอบไฮโดรคาร์บอนที่มีจุดเดือดต่ำ จะถูกแยกออกจากหอกกลั่นที่ด้านบน และสารประกอบไฮโดรคาร์บอนที่มีจุดเดือดสูง จะถูกแยกออกทางด้านล่าง ซึ่งผลิตภัณฑ์ที่ได้เมื่อเรียงตามจุดเดือดย่อยไปมากได้ดังต่อไปนี้

- 1 แอลพีจี (Liquidified Petroleum Gas)
- 2 ไลท์แนพทา (Light Naptha)
- 3 เฮฟวีแนพทา (Heavy Naptha)
- 4 เคโรซีน (Kerosene)
- 5 ไลท์แกสออยล์ (Light Gas Oil)
- 6 เฮฟวีแกสออยล์ (Heavy Gas Oil)
- 7 เอทีบี (Atmospheric Tower Bottom) หรือ รีดิวิซ์ครูด (Reduced Crude)

ซึ่งส่วนที่หนักที่สุดคือ เอทีบีจะออกทางด้านล่างของหอกกลั่น

ในกระบวนการกลั่นแยก น้ำมันดิบจะถูกทำให้ร้อนแล้วส่งผ่านเข้าหอกกลั่นความดันบรรยากาศภายในหอกกลั่นซึ่งประกอบด้วยชั้นแบบวาล์ว (Valve Tray) จำนวน 56 ชั้น สารประกอบไฮโดรคาร์บอนที่มีจุดเดือดแตกต่างกัน จะถูกแยกออกจากกัน โดยสารประกอบไฮโดรคาร์บอนที่มีจุดเดือดต่ำ จะถูกแยกออกทางด้านบนหอกกลั่น ส่วนที่มีจุดเดือดสูงกว่าจะถูกแยกออกทางด้านล่างลงมาตามลำดับจนถึงส่วนที่หนักที่สุดคือเอทีบี

หอกกลั่นความดันบรรยากาศได้ถูกออกแบบให้ผลิตภัณฑ์ 4 ชนิดถูกดึงแยกออกที่ระดับต่าง ๆ ของหอกกลั่นเหนือ แฟลชโซน (Flash Zone) โดยเรียงลำดับจากล่างขึ้นข้างบนคือ ไลท์แนพทา เฮฟวีแนพทา เคโรซีน และเฮฟวีแกสออยล์ ส่วนไลท์แนพทา และแอลพีจีซึ่งอยู่ในสถานะไอจะถูกดึงออกจากหอกกลั่นทางด้านบนของหอกกลั่น ซึ่งจะนำไปผ่านกระบวนการแยกอีกครั้งในหอเสถียรแนพทา

ในหน่วยการผลิตนี้ประกอบด้วย 4 ส่วนคือ

- 1 พรีฮีตติงและดีซอลท์ติง (Preheating and Desalting)
- 2 หอกกลั่นบรรยากาศ (Atmospheric Distillation Column)

- 3 ไชด์สตริปปิง (Side Stripping)
- 4 หอเสถียรแนพทา (Light Naphtha Stabilization)

โดยมีหอกลั่นบรรยากาศเป็นส่วนหลักของกระบวนการนี้

กระบวนการกลั่นแยก ส่วนใหญ่จะเกิดในหอกลั่นบรรยากาศ น้ำมันดิบจะถูกส่งเข้าพรีฮีทติงและดีซอลท์ติง เพื่อเพิ่มอุณหภูมิและกำจัดคลอไรด์ จากนั้นน้ำมันดิบจะถูกทำให้มีอุณหภูมิตามต้องการโดยการผ่านฮีทเตอร์ ก่อนจะส่งเข้าหอกลั่นบรรยากาศ

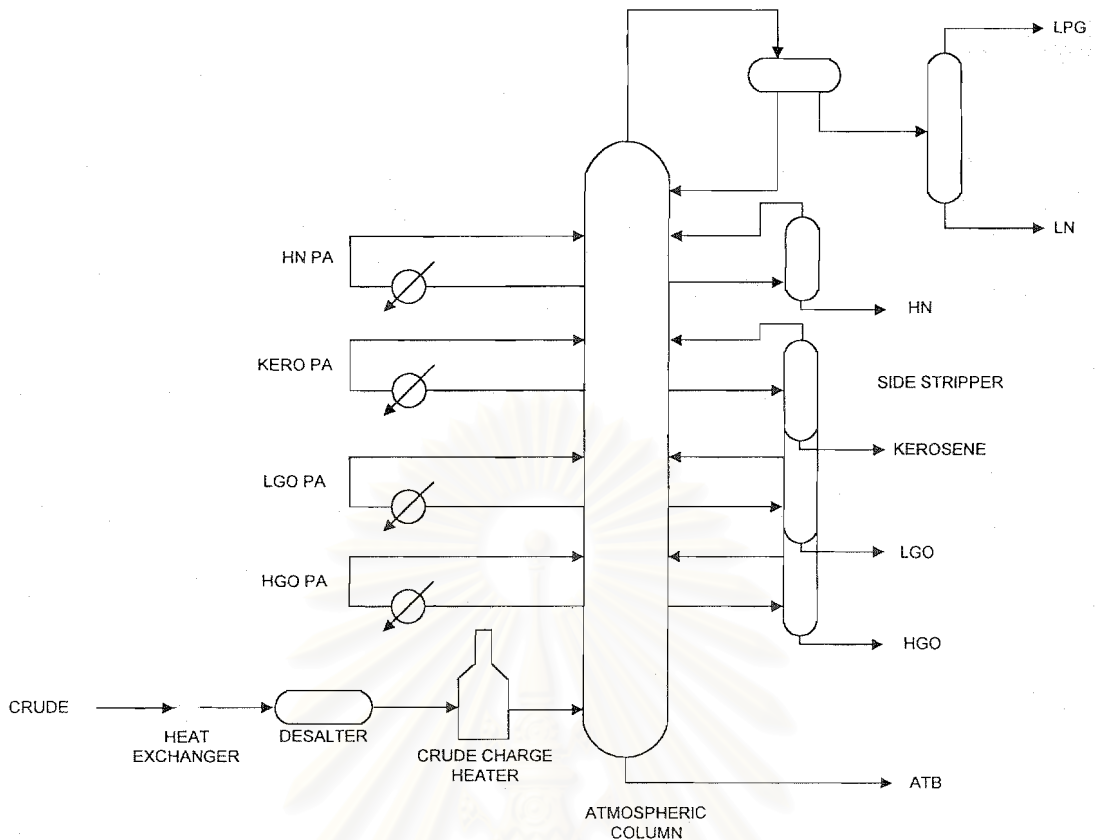
สารประกอบไฮโดรคาร์บอน ส่วนที่เป็นไอจะวิ่งสู่ด้านบนของหอกลั่น เข้าสู่ส่วนที่เรียกว่า ส่วนเรกติไฟอิง (Rectifying Section) จะไหลลงสู่ด้านล่างของหอกลั่นเข้าสู่ส่วนที่เรียกว่า ส่วนสตริปปิง (Stripping Section) โดยของเหลวนี้จะทำหน้าที่เป็นรีฟลักซ์ของช่วงส่วนสตริปปิง

ส่วนไอที่ออกทางด้านบนสุดของหอกลั่นบรรยากาศ ประกอบด้วย ไลท์แนพทา และ บางส่วนจะควบแน่นเป็นของเหลวเข้าสู่รีฟลักซ์ดรัม (Reflux Drum) ส่วนไอที่เหลือจะถูกทำให้เย็นลงอีกในซีคคองสแตตคองเดนเซอร์ (2nd Stage Condenser) ของเหลวที่ได้จะเข้าสู่ส่วนของหอเสถียรแนพทา เพื่อทำการแยกเป็นแอลพีจี และไลท์แนพทา

ส่วนผลิตภัณฑ์อีก 4 ชนิด คือเฮฟวีแนพทา เคโรซีน ไลท์แกสออยล์ และเฮฟวีแกสออยล์ (Heavy Gas Oil) ที่ถูกดึงออกทางด้านข้างของหอกลั่นบรรยากาศ จะถูกส่งเข้าหอกลั่น ไชด์สตริปปิง (Side Stripping Column) ทำให้สารประกอบไฮโดรคาร์บอนบางส่วนกลายเป็นไอ โดยเฉพาะส่วนสารประกอบไฮโดรคาร์บอนที่เบา เป็นการปรับปรุงคุณภาพเพื่อเพิ่มจุดวาบไฟ (Flash Point) ของผลิตภัณฑ์ โดยทำการแยกตัวเบาออกไป ส่วนไอที่ออกมาจะถูกส่งกลับเข้าหอกลั่นบรรยากาศหลักอีกครั้ง

ส่วนสารประกอบไฮโดรคาร์บอนที่ไม่เป็นไอที่แฟลชโซน จะใช้ไอน้ำไล่สารประกอบไฮโดรคาร์บอนส่วนเบาที่อาจติดมากับสารหนักให้กลับขึ้นสู่ด้านบน เอนทิปีเป็นน้ำมันไม่สามารถแยกได้แล้วที่ความดันบรรยากาศจะออกด้านล่างสุดของหอกลั่นบรรยากาศ แล้วจะถูกส่งไปกลั่นแยกอีกครั้งที่หอกลั่นสุญญากาศต่อไป

น้ำมันดิบจะถูกแยกในหอกลั่นบรรยากาศเป็นผลิตภัณฑ์ต่าง ๆ ซึ่งมีช่วงของจุดเดือด (Boiling Range) ต่างกัน คุณสมบัติและปริมาณของแต่ละผลิตภัณฑ์ จะถูกปรับแต่งและควบคุม ซึ่งจะปรับเปลี่ยนสภาวะการผลิตเพื่อให้ได้ผลิตภัณฑ์ที่มีคุณสมบัติตรงตามต้องการและได้ผลิตภัณฑ์ปริมาณมากที่สุด



รูปที่ 3.1 หน่วยการกลั่นความดันบรรยากาศ

3.2 หน่วยการกลั่นความดันสุญญากาศ (Vacuum Distillation Unit)

เอทีบี หรือ รีดิวิซ์ครูด (Reduced Crude) เป็นส่วนที่ได้จากส่วนล่างสุดของหอกลั่นบรรยากาศ เอทีบีประกอบด้วยน้ำมันหล่อลื่นและแว็กซ์ (Wax) อะโรมาติก แอสฟัลทีน (Asphaltene) และอื่น ๆ ซึ่งสารเหล่านี้ไม่สามารถกลั่นแยกได้ที่ความดันบรรยากาศ แต่จะกลั่นแยกได้ที่ความดันสุญญากาศ

หอกลั่นสุญญากาศ ทำหน้าที่กลั่นแยกเอาน้ำมันหล่อลื่นออกมา โดยควบคุมให้ได้คุณสมบัติสำคัญที่ต้องการ คือความหนืด (Viscosity) ความสามารถในการระเหย (Volatility) และจุดวาบไฟ (Flash Point) โดยที่ให้มีปริมาณกากด้านล่าง (Pitch) น้อยที่สุด ผลิตภัณฑ์น้ำมันหล่อลื่นที่ได้จากหอกลั่นสุญญากาศ ยังไม่สามารถนำไปใช้เป็นน้ำมันหล่อลื่นพื้นฐาน หรือน้ำมันหล่อลื่นชนิดพิเศษได้ทันที เนื่องจากยังคงมีสารปนเปื้อนที่ไม่ต้องการอยู่ด้วย ได้แก่แว็กซ์ และ อะโรมาติก ดังนั้น น้ำมันหล่อลื่นที่ได้จากหอกลั่นสุญญากาศ จะต้องผ่านหน่วยการผลิตต่าง ๆ ต่อไป ได้แก่ ดีแอสฟัลติง (Deasphalting) การสกัดแยกด้วยตัวทำละลาย (Solvent Extraction) ไฮโดรไฟน์นิง (Hydrofining) และดีแว็กซ์ซิง (Dewaxing) จึงจะได้น้ำมันหล่อลื่นพื้นฐานตามต้องการ

ผลิตภัณฑ์ที่ได้จากหอกลั่นสุญญากาศ เรียงจากด้านบนของหอกลั่นสู่ด้านล่างมีดังนี้

- สลอปออยล์ (Slop Oil)
- ดิสทิลเลต60
- ดิสทิลเลต150
- มิดเดิลสลอป (Middle Slop)
- ดิสทิลเลต500
- เฮฟวีสลอป (Heavy Slop)
- วิวาร์ (Vacuum Residue)

ในหน่วยการผลิตนี้ประกอบด้วย 4 ส่วนโดยมีหอกลั่นสุญญากาศเป็นส่วนหลักของกระบวนการคือ

- พรีฮีทติง (Preheating)
- หอกลั่นสุญญากาศ (Vacuum Distillation Column)
- ระบบสุญญากาศ (Vacuum System)
- ฮีตเตอร์ (Heater)

เอทีบีจะถูกทำให้ร้อน โดยการแลกเปลี่ยนความร้อนในส่วนพรีฮีทติงและฮีตเตอร์ เมื่อได้อุณหภูมิตามต้องการ จะผ่านเข้าหอกลั่นสุญญากาศที่บริเวณ แพลกไซน เอทีบีจะถูกแยกออกเป็นส่วนที่เป็นไอและของเหลว ส่วนที่เป็นของเหลวจะไหลผ่านลงสู่ด้านล่างสู่ส่วนสตรีพพิง ขณะที่ส่วนที่เป็นไอจะวิ่งสู่ด้านบนของหอกลั่นเรียกว่าส่วน เรคตีไฟอิง

ในบริเวณแพลกไซน ส่วนที่เป็นของเหลวจะไหลลงด้านล่าง ซึ่งจะใช้น้ำเพื่อไล่สารส่วนที่เป็นน้ำมันหล่อลื่นที่อาจติดลงมา กลับขึ้นสู่ด้านบนของหอกลั่นสุญญากาศ ส่วนของเหลวที่เหลือจะไหลลงผ่านส่วนสตรีพพิง และผสมกับวิวาร์ ที่ถูกดึงออกไปและทำให้เย็นเรียกว่าควีนซิง (Quenching) ซึ่งจะย้อนกลับเข้ามาใหม่ เพื่อลดอุณหภูมิของด้านล่างหอกลั่น ทำให้ลดการแตกตัว (Cracking) ของน้ำมันที่เกิดขึ้นได้ง่ายที่อุณหภูมิสูง ส่วนของเหลวที่ผสมกับควีนซิงแล้วจะลงสู่ทาร์พอต (Tar Pot) และถูกดึงออกไปทางด้านล่างของหอกลั่นสุญญากาศ เรียกว่า วิวาร์

จากนั้น วิวาร์จะถูกปั๊มออกไปเพื่อแลกเปลี่ยนความร้อน กับ เอทีบีเข้ามาใหม่ ทำให้เอทีบีมีอุณหภูมิสูงขึ้น และวิวาร์จะมีอุณหภูมิลดลง ซึ่งบางส่วนของวิวาร์จะถูกส่งกลับเข้าหอกลั่น เพื่อใช้เป็นควีนซิง อัตราการไหลของวิวาร์จะถูกควบคุม โดยอุณหภูมิในทาร์พอต วิวาร์ส่วนที่เหลือจะถูกทำให้เย็นต่อไปอีก โดยแลกเปลี่ยนความร้อนกับน้ำป้อนหม้อทำไอน้ำ จะได้ไอน้ำความดันต่ำออกมาจนอุณหภูมิลดลงจึงส่งไปเก็บในถังเก็บ

ส่วนไอที่ออกจากแฟลชโซน จะเข้าสู่ด้านบนของหอกลั่นสุญญากาศ โดยจะผ่านวอชโซน (Wash Zone) ก่อน ในวอชโซนจะมีของเหลวที่ควบแน่นในชั้นด้านบน ไหลสวนทางลงมา เพื่อทำหน้าที่ล้างกำจัดกากจากด้านล่าง ที่อาจจะติดขึ้นไปกับส่วนไอ ต้องควบคุมให้ส่วนของวอชโซนนั้นเปียกด้วยของเหลวจากด้านบนตลอดเวลาและมีอัตราการไหลที่สม่ำเสมอ ทั้งนี้เพื่อป้องกันการเกิดไค้ก ซึ่งจะอุดตันทำให้ได้ประสิทธิภาพในการล้างกำจัดกากจากด้านล่าง และกำลังการผลิตของหอกลั่นสุญญากาศลดลง

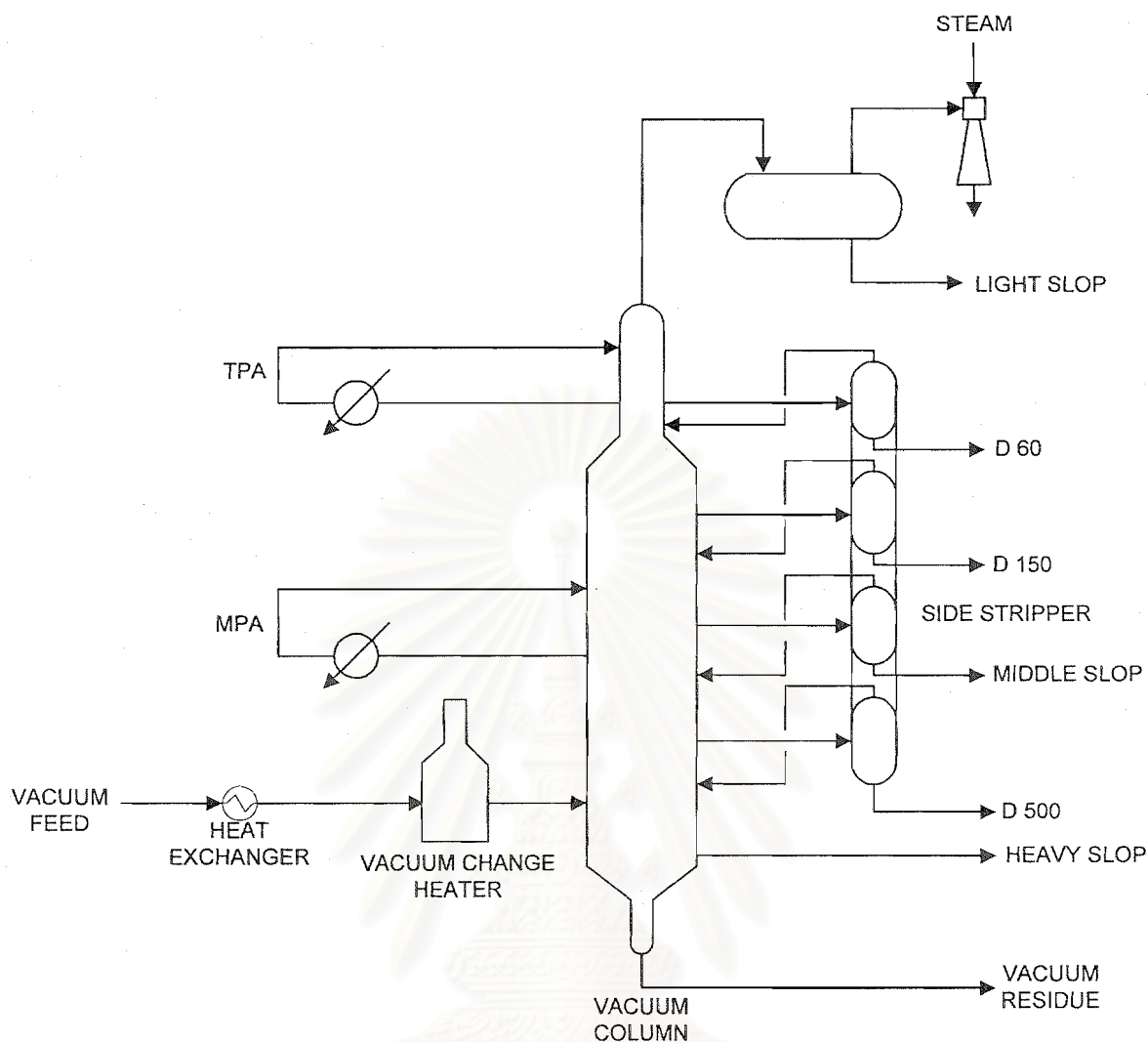
เมื่อส่วนไอผ่านช่วงวอชโซนแล้วส่วนไอจะเข้าสู่ด้านบนของหอกลั่นสุญญากาศเรียกว่าส่วนเรกติไฟอิง ซึ่งประกอบด้วยส่วนที่เกิดการกลั่นแยก และส่วนที่เกิดการแลกเปลี่ยนความร้อน

หอกลั่นสุญญากาศด้านบนจะประกอบด้วย

1. บั้มอะราวด์เบด (Pumparound Bed) 2 ส่วนคือ ทอปบั้มอะราวด์เบด (Top Pumparound Bed) และมิดเดิลบั้มอะราวด์เบด (Middle Pumparound Bed)
2. แฟรคชันเนชันเบด (Fractionation Bed) 4 ส่วนคือ ดิสทิลเลต60เบต ดิสทิลเลต150เบต มิดเดิลสทอปเบต และ ดิสทิลเลต500เบต

บั้มอะราวด์เบด จะทำหน้าที่ดึงความร้อนออกจากส่วนที่เป็นไอ ทำให้ไเกิดการควบแน่นเป็นของเหลว ซึ่งของเหลวนี้นำหน้าที่เป็นรีฟลักซ์ภายใน (Internal Reflux) โดยของเหลวที่ได้จะถูกดึง ออกจากหอกลั่นและทำให้เย็น แล้วส่งย้อนกลับเข้าหอกลั่นสุญญากาศอีกครั้ง บริเวณด้านบนของบั้มอะราวด์เบดเดิม

สถาบันวิทยบริการ
จุฬาลงกรณ์มหาวิทยาลัย



รูปที่ 3.2 หน่วยการกลั่นความดันสุญญากาศ

ทอปปีมอะราวด์เบดจะอยู่ด้านบนของ ดิสทิลเลต60เบตและดิสทิลเลต150เบต จะทำหน้าที่ควบแน่นไอให้กลายเป็นของเหลว ทำให้เกิดรีฟลักซ์ภายใน การล้าง และผลิตภัณฑ์ที่จะดึงออกทางด้านข้างของหอกลั่นสุญญากาศ ได้เป็นดิสทิลเลต60 และดิสทิลเลต150

มิดเดิลปี้มอะราวด์เบดจะอยู่ด้านบนของมิดเดิลสลิปเบตและดิสทิลเลต500เบต จะทำหน้าที่ควบแน่นไอให้กลายเป็นของเหลว ทำให้เกิดรีฟลักซ์ภายใน การล้าง และเป็นผลิตภัณฑ์ที่จะดึงออกทางด้านข้างของหอกลั่นสุญญากาศ ได้เป็นมิดเดิลสลิปและดิสทิลเลต500

ตารางที่ 3.1 ข้อมูลจำเพาะของหอกลิ้นบรρυากาศ

| | |
|-----------------------------|--|
| จำนวนเทรย์ | 56 เทรย์ |
| ตำแหน่งเทรย์ป้อน | กระแสดังที่ 1 เทรย์ที่ 53 |
| ตำแหน่งเทรย์กระแสดังออกข้าง | กระแสดังที่ 2 เทรย์ที่ 12 กระแสดังที่ 3 เทรย์ที่ 25 กระแสดังที่ 4 เทรย์ที่ 37 กระแสดังที่ 5 เทรย์ที่ 45 |
| เส้นผ่านศูนย์กลางภายใน | 4.6 เมตร |
| ความสูง | 46.3 เมตร |
| ความดันภายใน | 1.164 kg/cm ² |

ตารางที่ 3.2 ข้อมูลจำเพาะของหอเสถียรแนพพา

| | |
|-----------------------------|------------------------|
| จำนวนเทรย์ | 40 เทรย์ |
| ตำแหน่งเทรย์ป้อน | กระแสดังที่ 20 |
| ตำแหน่งเทรย์กระแสดังออกข้าง | - |
| เส้นผ่านศูนย์กลางภายใน | 1.7 เมตร |
| ความสูง | 27.3 เมตร |
| ความดันภายใน | 7.6 kg/cm ² |

ตารางที่ 3.3 ข้อมูลจำเพาะของหอกลิ้นสุญญากาศ

| | |
|-----------------------------|---|
| จำนวนเทรย์ | 17 เทรย์ |
| ตำแหน่งเทรย์ป้อน | กระแสดังที่ 1 เทรย์ที่ 15 |
| ตำแหน่งเทรย์กระแสดังออกข้าง | กระแสดังที่ 2 เทรย์ที่ 3 กระแสดังที่ 3 เทรย์ที่ 6 กระแสดังที่ 4 เทรย์ที่ 10 กระแสดังที่ 5 เทรย์ที่ 12 กระแสดังที่ 6 เทรย์ที่ 14 |
| เส้นผ่านศูนย์กลางภายใน | 6.7 เมตร |
| ความสูง | 50.89 เมตร |
| ความดันภายใน | 96 mmHg |

บทที่ 4

การสร้างแบบจำลองหน่วยการกลั่นความดันบรรยากาศ และความดันสุญญากาศ

4.1 การสร้างแบบจำลองโดยโปรแกรมไฮซิส

ในการสร้างแบบจำลองหน่วยการผลิต ไม่มีความจำเป็นในการลงรายละเอียดทุกขั้นตอนตามแบบแผนภาพกระบวนการผลิตของหน่วยการกลั่นความดันบรรยากาศและความดันสุญญากาศ แบบสมบูรณ์ เนื่องจากในรายละเอียดนั้นในการผลิตจริงใช้เพื่อให้สามารถควบคุมหน่วยการผลิต และปรับค่าพารามิเตอร์ แต่ในการสร้างแบบจำลองหน่วยการผลิต ซึ่งเป็นแบบภาวะคงตัว จะต้องลดความยุ่งยากของขั้นตอนกระบวนการผลิตต่าง ๆ โดยจะคงไว้และให้ความสำคัญกับอุปกรณ์หลักที่ทำหน้าที่สำคัญของกระบวนการผลิตเท่านั้น ทั้งนี้เพื่อให้แบบจำลองที่สร้างขึ้น มีแบบจำลองทางคณิตศาสตร์ที่ไม่ยุ่งยากโดยไม่จำเป็น และลดปริมาณงาน และเวลาที่ให้ และสามารถตรวจสอบกลับได้ง่าย แต่ทั้งนี้ทั้งนั้นแบบจำลองที่สร้างขึ้นจะต้องยังสามารถเป็นตัวแทนของกระบวนการผลิตได้จริง

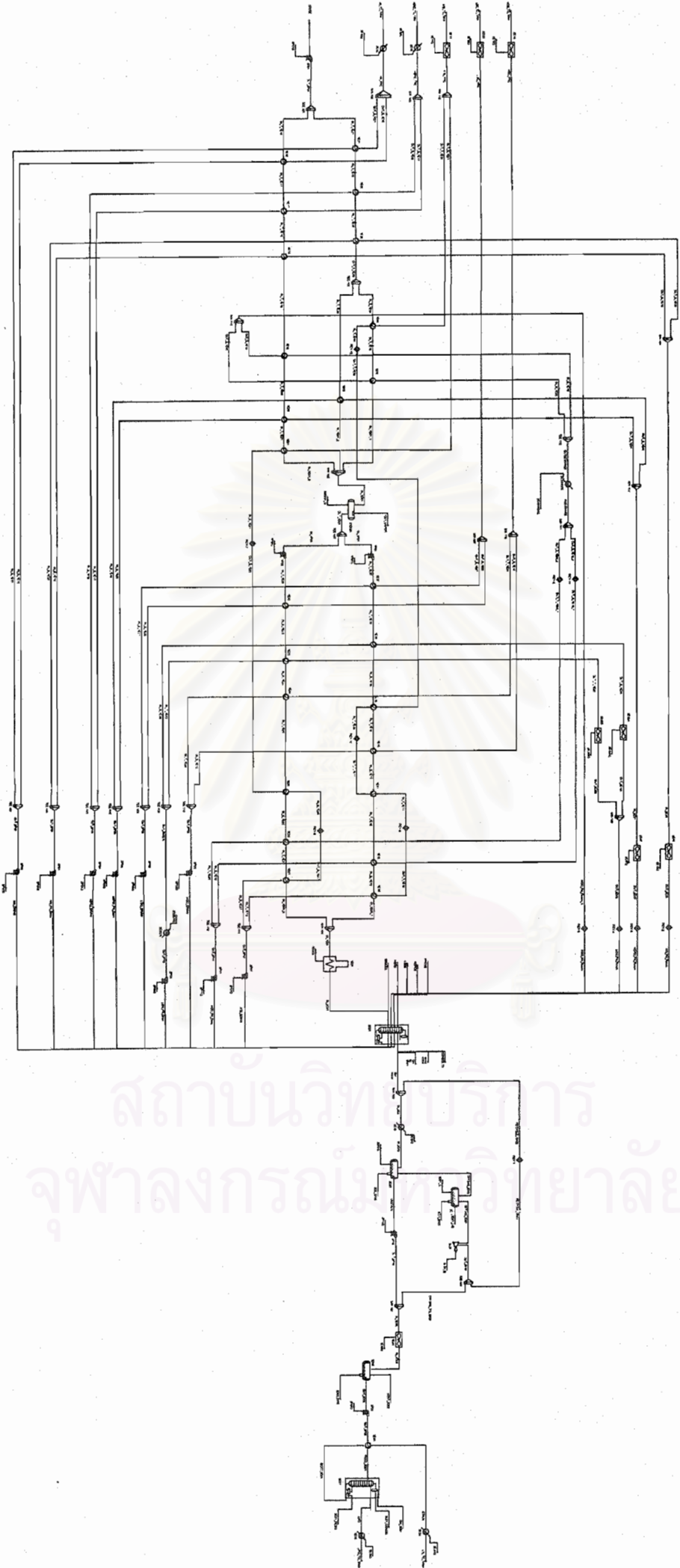
สมการของสภาวะทางเทอร์โมไดนามิกส์ ที่ถูกใช้ในการคำนวณและสร้างแบบจำลองทางคณิตศาสตร์นั้น มีความสำคัญอย่างยิ่งต่อผลลัพธ์ของแบบจำลองว่าจะตรงกับกระบวนการผลิตจริงเพียงใด ผู้ออกแบบจำลองจึงต้องเลือกใช้สมการสภาวะ (equation of state) ให้เหมาะสมกับกระบวนการผลิตนั้น ๆ

สำหรับหน่วยการกลั่นความดันบรรยากาศและความดันสุญญากาศ นั้นควรจะเลือกใช้สมการของเบ็งโรบินสัน เนื่องจากมีความแม่นยำสำหรับการคำนวณที่เกี่ยวข้องกับสารประกอบไฮโดรคาร์บอน ในทุก ๆ ภาวะ

ในแบบจำลองนี้ ผู้ออกแบบได้เลือกใช้สมการสภาวะเบ็งโรบินสัน โดยมีขั้นตอนการจำลองดังนี้

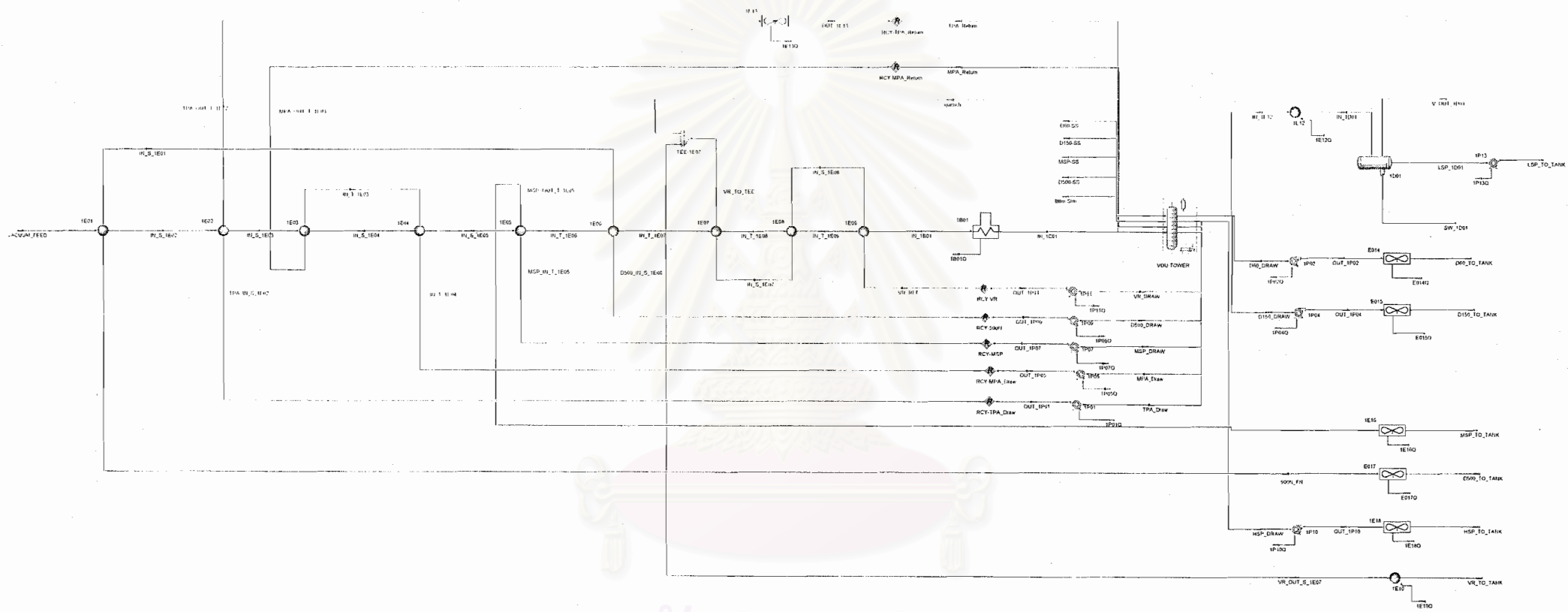
1. เลือกข้อมูลจากกระบวนการผลิตจริง ในช่วงที่อยู่ในภาวะที่มีความเสถียร
2. ให้โปรแกรมไฮซิสสร้างแบบจำลอง จากแผนภาพกระบวนการผลิต
3. ใส่คุณสมบัติของสารป้อนในแบบจำลอง
4. วิเคราะห์ผลที่ได้จากแบบจำลอง
5. ปรับแบบจำลองให้ได้ผลตามต้องการโดย ปรับประสิทธิภาพของเทรย์ และปรับตัวแปรของกระบวนการผลิตเช่น อุณหภูมิของแต่ละส่วนของหอกลั่น

จากที่กล่าวข้างต้น แบบจำลองสำหรับหน่วยการกลั่นความดันบรรยากาศและความดันสุญญากาศ ได้ถูกสร้างขึ้นบนหลักการข้างต้น แสดงดังรูป 4.1 และ 4.2



รูปที่ 4.1 แผนจำลองหน่วยการหลักความดันบรรยากาศ

สถาบันวิทยบริการ
จุฬาลงกรณ์มหาวิทยาลัย



สถาบันวิทยบริการ
 จุฬาลงกรณ์มหาวิทยาลัย
 รูปที่ 4.2 แบบจำลองหน่วยการกลั่นความดันสุญญากาศ

แบบจำลองหน่วยการกลั่นความดันบรรยากาศ และหน่วยการกลั่นความดันสุญญากาศ ประกอบด้วย เครื่องแลกเปลี่ยนความร้อน บั้ม คอมเพรสเซอร์ ถึง หอกลั่น และเตา สำหรับอุปกรณ์ทั้งหมด ของแบบจำลองได้แสดงไว้ในตารางที่ 4.1 และ 4.2

ตารางที่ 4.1 อุปกรณ์ของแบบจำลองหน่วยการกลั่นความดันบรรยากาศ

1. เครื่องแลกเปลี่ยนความร้อนแบบแลกเปลี่ยนระหว่างสายการผลิต

| หมายเลข | อุปกรณ์ |
|---------|--------------------------------------|
| 1E01 | Crude/HN Product exchanger |
| 1E02 | Crude/Kerosene Product exchanger |
| 1E03 | Crude/HN Pump around exchanger |
| 1E04 | Crude /ATB exchanger |
| 1E05 | Crude/HGO Pump around exchanger |
| 1E06 | Crude/Kerosene Pump around exchanger |
| 1E07 | Crude/LGO Product exchanger |
| 1E08 | Crude/LGO Pump around exchanger |
| 1E09 | Crude/ATB exchanger |
| 1E10 | Crude/HGO Product exchanger |
| 1E11 | Crude/ATB exchanger |
| 1E12 | Crude/HGO Pump around exchanger |
| 1E13 | Crude/ATB exchanger |
| 1E16 | Crude/HN Product exchanger |
| 1E17 | Crude/Kerosene Product exchanger |
| 1E18 | Crude/HN exchanger |
| 1E19 | Crude/HGO Pump around exchanger |
| 1E20 | Crude/Kerosene exchanger |
| 1E21 | Crude/ATB exchanger |
| 1E22 | Crude/LGO Product exchanger |
| 1E23 | Crude/LGO Pump around exchanger |
| 1E24 | Crude/HGO Product exchanger |
| 1E25 | Crude/ATB exchanger |
| 1E26 | Crude/HGO Pump around exchanger |
| 1E27 | Crude/ATB exchanger |

ตารางที่ 4.1 (ต่อ) อุปกรณ์ของแบบจำลองหน่วยการกลั่นความดันบรรยากาศ

1. (ต่อ) เครื่องแลกเปลี่ยนความร้อนแบบแลกเปลี่ยนระหว่างสายการผลิต

| หมายเลข | อุปกรณ์ |
|---------|-------------------------------------|
| 2E03 | HN Side Stripper Reboiler |
| 3E01 | LN Stabilizer Feed/Bottom exchanger |
| 3E03 | LN Stabilizer Reboiler |

2. เครื่องแลกเปลี่ยนความร้อนแบบพัดลม

| หมายเลข | อุปกรณ์ |
|---------|---------------------------------------|
| 2E01 | Atmospheric Column Overhead Condenser |
| 2E05 | HN Pump around Cooler |
| 2E07 | Kerosene Pumparound Cooler |
| 2E08 | LGO Product Cooler |
| 2E09 | LGO pumparound cooler |
| 2E10 | HGO product Cooler |
| 2E11 | ATB Product cooler |
| 3E02 | LN stabilizer Overhead Condenser |
| 3E06 | Compressor After Cooler |

3. เครื่องแลกเปลี่ยนความร้อนแบบน้ำหล่อเย็น

| หมายเลข | อุปกรณ์ |
|---------|---|
| 2E02 | Atmospheric Column 2 nd Stage Condenser |
| 2E04 | HN product cooler |
| 2E06 | Kerosene Product Cooler |
| 3E04 | LN Product Cooler |
| 3E05 | LPG Product Cooler |

4. ปั๊ม และ คอมเพรสเซอร์

| หมายเลข | อุปกรณ์ |
|---------|--------------------------------|
| 9P01 | Crude Pump |
| 1P01 | Desalted Crude Pump |
| 1P05 | Desalted Crude Pump |
| 2P01 | HN Pumparound Pump |
| 2P02 | Atmospheric Column Reflux Pump |
| 2P03 | HN Product Pump |

ตารางที่ 4.1 (ต่อ) อุปกรณ์ของแบบจำลองหน่วยการกลั่นความดันบรรยากาศ

4. (ต่อ) ปั๊ม และ คอมเพรสเซอร์

| หมายเลข | อุปกรณ์ |
|---------|-------------------------------|
| 2P04 | Kerosene Product Pump |
| 2P05 | LGO Product Pump |
| 2P06 | HGO Product Pump |
| 2P07 | ATB Product Pump |
| 2P08 | Kerosene Pumparound Pump |
| 2P09 | LGO Pumparound Pump |
| 2P10 | Unstabilized LN Transfer Pump |
| 2P11 | HGO Pumparound Pump |
| 3P01 | LN Stabilizer Reflux Pump |
| 3P03 | LN Stabilizer Feed Pump |
| 3K01 | Over vapor compressor |

5. ถัง

| หมายเลข | อุปกรณ์ |
|---------|--------------------------------|
| 1D01 | Desalter |
| 2D01 | Atmospheric Column Reflux Drum |
| 2D02 | Naphtha Drum |
| 3D01 | Compressor Suction KO Drum |
| 3D02 | LN stabilizer Reflux Drum |
| 3D03 | Compressor Discharge KO Drum |

6. หอกลิ้น

| หมายเลข | อุปกรณ์ |
|---------|---------------------------------|
| 2C01 | Atmospheric Distillation Column |
| 2C02 | HN Side Stripper |
| 2C03 | Kerosene Side Stripper |
| 2C04 | LGO Side Stripper |
| 2C05 | HGO Side Stripper |
| 3C01 | Light Naphtha Stabilizer |

ตารางที่ 4.1 (ต่อ) อุปกรณ์ของแบบจำลองหน่วยการกลั่นความดันบรรยากาศ

7. เตา (Fired Heater)

| หมายเลข | อุปกรณ์ |
|---------|---------------------|
| 1B01 | Crude Charge Heater |

ตารางที่ 4.2 อุปกรณ์ของแบบจำลองหน่วยการกลั่นความดันสูญญากาศ

1. เครื่องแลกเปลี่ยนความร้อนแบบแลกเปลี่ยนระหว่างสายการผลิต

| หมายเลข | อุปกรณ์ |
|---------|---|
| 6E01 | Vacuum Feed/D500 exchanger |
| 6E02 | Vacuum Feed/TOP Pumparound exchanger |
| 6E03 | Vacuum Feed/Middle Pumparound exchanger |
| 6E04 | Vacuum Feed/Middle Pumparound exchanger |
| 6E05 | Vacuum Feed/Middle Slop exchanger |
| 6E06 | Vacuum Feed/D500 exchanger |
| 6E07 | Vacuum Feed/Vacuum Residue exchanger 1 |
| 6E08 | Vacuum Feed/Vacuum Residue exchanger 2 |
| 6E09 | Vacuum Feed/Vacuum Residue exchanger 3 |

2. เครื่องแลกเปลี่ยนความร้อนแบบพัดลม

| หมายเลข | อุปกรณ์ |
|---------|----------------------------|
| 6E13 | Top Pumparound Cooler |
| 6E14 | D60 Product Cooler |
| 6E15 | D150 Product Cooler |
| 6E16 | Middle Slop Product Cooler |
| 6E17 | D500 Product Cooler |
| 6E18 | Heavy Slop Product Cooler |

3. เครื่องแลกเปลี่ยนความร้อนแบบน้ำหล่อเย็น

| หมายเลข | อุปกรณ์ |
|---------|------------------------------|
| 6E10 | Vacuum Residue Water Cooler |
| 6E12 | Vacuum Column OVHD Condenser |

ตารางที่ 4.2 (ต่อ) อุปกรณ์ของแบบจำลองหน่วยการกลั่นความดันสุญญากาศ

4. ปั๊ม

| หมายเลข | อุปกรณ์ |
|---------|-----------------------------|
| 6P01 | Top Pumparound Pump |
| 6P05 | Middle Pumparound Pump |
| 6P13 | Light Slop Product Pump |
| 6P02 | D60 Product Pump |
| 6P04 | D150 Product Pump |
| 6P07 | Middle Slop Product Pump |
| 6P09 | D500 Product Pump |
| 6P10 | Heavy Slop Product Pump |
| 6P11 | Vacuum Residue Product Pump |

5. ถัง

| หมายเลข | อุปกรณ์ |
|---------|------------------------------|
| 6D01 | Vacuum Column OVHD Condenser |

6. หอกลิ้น

| หมายเลข | อุปกรณ์ |
|---------|----------------------------|
| 6C01 | Vacuum Distillation Column |
| 7C02 | D60 Side Stripper |
| 7C03 | D150 Side Stripper |
| 7C04 | MSP Side Stripper |
| 7C05 | D500 Side Stripper |

7. เตา (Fired Heater)

| หมายเลข | อุปกรณ์ |
|---------|----------------------|
| 6B01 | Vacuum Charge Heater |

สารป้อนของหน่วยการกลั่นความดันบรรยากาศ คือน้ำมันดิบ ซึ่งรับจากแหล่งต่าง ๆ จากต่างประเทศ โดยส่วนใหญ่จะรับจากตะวันออกกลาง เนื่องจากเป็นน้ำมันดิบที่มีคุณภาพสูง ส่วนสารป้อนของหน่วยการกลั่นความดันสูญญากาศ คือ เอทีบี (Atmospheric Tower Bottom) ซึ่งเป็นส่วนที่ได้จากส่วนล่างสุดของหอกลั่นบรรยากาศ โดยสมบัติของสารป้อนของหน่วยการกลั่นความดันบรรยากาศและหน่วยการกลั่นความดันสูญญากาศ ได้แสดงไว้ในตารางที่ 4.3 และ 4.4 ตามลำดับ

ตารางที่ 4.3 แสดงสมบัติของสารป้อนของหน่วยการกลั่นความดันบรรยากาศ

| คุณสมบัติ | ค่า |
|--------------------|--------|
| 1. Sp.gr @60/60 °F | 0.8600 |
| 2. ASTM D86 (°C) | |
| 0%Volume | 37.01 |
| 1%Volume | 41.23 |
| 2%Volume | 57.42 |
| 4%Volume | 65.41 |
| 5%Volume | 72.30 |
| 8%Volume | 93.73 |
| 10%Volume | 113.93 |
| 15%Volume | 144.69 |
| 20%Volume | 167.02 |
| 25%Volume | 187.67 |
| 30%Volume | 211.74 |
| 35%Volume | 227.94 |
| 40%Volume | 242.77 |
| 45%Volume | 263.66 |
| 50%Volume | 293.36 |
| 55%Volume | 318.82 |
| 60%Volume | 344.86 |
| 65%Volume | 384.31 |
| 70%Volume | 425.44 |
| 75%Volume | 465.34 |
| 80%Volume | 508.72 |

ตารางที่ 4.3 (ต่อ) แสดงสมบัติของสารป้อนของหน่วยการกลั่นความดันบรรยากาศ

| 2. (ต่อ) ASTM D86 (°C) | |
|------------------------|--------|
| 85%Volume | 545.74 |
| 90%Volume | 578.40 |
| 93%Volume | 594.09 |
| 95%Volume | 609.65 |
| 97%Volume | 618.83 |
| 98%Volume | 627.46 |
| 99%Volume | 632.77 |
| 100%Volume | 637.63 |

ตารางที่ 4.4 แสดงสมบัติของสารป้อนของหน่วยการกลั่นความดันสุญญากาศ

| คุณสมบัติ | ค่า |
|----------------------------|--------|
| 1. Sp.gr@60/60 °F | 0.95 |
| 2. Distillation , TBP (°C) | |
| 0%Volume | 235.66 |
| 1%Volume | 249.60 |
| 2%Volume | 276.78 |
| 4%Volume | 311.63 |
| 5%Volume | 338.31 |
| 8%Volume | 362.82 |
| 10%Volume | 382.25 |
| 15%Volume | 403.75 |
| 20%Volume | 419.76 |
| 25%Volume | 435.20 |
| 30%Volume | 449.79 |
| 35%Volume | 463.71 |
| 40%Volume | 477.63 |
| 45%Volume | 492.44 |
| 50%Volume | 509.41 |
| 55%Volume | 528.38 |

ตารางที่ 4.4 (ต่อ) แสดงสมบัติของสารป้อนของหน่วยการกลั่นความดันสูญญากาศ

| คุณสมบัติ | ค่า |
|------------------------------|--------|
| 2.(ต่อ)Distillation,TBP (°C) | |
| 60%Volume | 548.83 |
| 65%Volume | 568.94 |
| 70%Volume | 587.80 |
| 75%Volume | 605.33 |
| 80%Volume | 622.43 |
| 85%Volume | 640.54 |
| 90%Volume | 660.68 |
| 93%Volume | 670.99 |
| 95%Volume | 681.29 |
| 97%Volume | 687.41 |
| 98%Volume | 693.47 |
| 99%Volume | 697.45 |
| 100%Volume | 701.38 |

สถาบันวิทยบริการ
จุฬาลงกรณ์มหาวิทยาลัย

4.2 ผลการจำลอง

จากแบบจำลองหน่วยการกลั่นความดันบรรยากาศ และหน่วยการกลั่นความดันสูญญากาศโดยโปรแกรมไฮซิส ได้เปรียบเทียบผลที่ได้จากการดำเนินงานจริง กับผลการคำนวณจากโปรแกรม มีเปอร์เซ็นต์ความแตกต่างค่อนข้างน้อย (น้อยกว่า 1 เปอร์เซ็นต์) และมีเปอร์เซ็นต์ความแตกต่างสูงสุด 1.91 เปอร์เซ็นต์ ได้แสดงไว้ในตารางที่ 4.5 และ 4.6

ตารางที่ 4.5 เปรียบเทียบระหว่างข้อมูล การดำเนินงานจริงกับแบบจำลองของหน่วยกลั่นความดันบรรยากาศ

1. ส่วนพรีฮีตติงและดีซอลติง (Preheating and Desalting)

| | หน่วย | การดำเนินงานจริง | แบบจำลอง | *% ความแตกต่าง |
|--------------------------------|-------------------|------------------|----------|----------------|
| อัตราการไหลเข้า 1E01 (Train A) | m ³ /h | 160.07 | 160.90 | 0.52 |
| อุณหภูมิเข้าท่อ (tube) 1E01 | °C | 31.00 | 31.00 | 0.00 |
| อัตราการไหลเข้า 1E16 (train B) | m ³ /h | 263.80 | 265.20 | 0.53 |
| อุณหภูมิเข้าท่อ (tube) 1E16 | °C | 31.00 | 31.00 | 0.00 |
| อุณหภูมิออกจาก 1B01 | °C | 315.60 | 315.60 | 0.00 |

2. หอกกลั่นบรรยากาศและไซด์สตรipping (Atmospheric Distillation Column and Side Stripping)

| | หน่วย | การดำเนินงานจริง | แบบจำลอง | % ความแตกต่าง |
|------------------------------------|-------------------|------------------|----------|---------------|
| อุณหภูมิเข้า 1C01 | °C | 315.60 | 315.60 | 0.00 |
| อุณหภูมิยอดหอ (Top Temperature) | °C | 91.05 | 91.00 | -0.05 |
| อุณหภูมิก้นหอ (Bottom Temperature) | °C | 297.33 | 294.00 | -1.12 |
| ความดันยอดหอ (Top Pressure) | bar g | 0.95 | 0.95 | 0.00 |
| ความดันก้นหอ (Bottom pressure) | bar g | 1.39 | 1.39 | 0.00 |
| อัตราการไหล HN Pumparound | m ³ /h | 259.00 | 259.00 | 0.00 |
| อุณหภูมิ HN Pumparound | °C | 70.23 | 70.23 | 0.00 |
| อัตราการไหล Kero Pumparound | m ³ /h | 97.05 | 97.04 | -0.01 |
| อุณหภูมิ Kero Pumparound | °C | 99.75 | 99.75 | 0.00 |
| อัตราการไหล LGO Pumparound | m ³ /h | 111.16 | 111.20 | 0.04 |
| อุณหภูมิ LGO Pumparound | °C | 136.40 | 136.40 | 0.00 |

* %ความแตกต่าง = (แบบจำลอง - การดำเนินงานจริง) / การดำเนินงานจริง x 100

ตารางที่ 4.5 (ต่อ) เปรียบเทียบระหว่างข้อมูล การดำเนินงานจริงกับแบบจำลองของหน่วยกลั่นความดัน
บรรยากาศ

| | หน่วย | การดำเนินงานจริง | แบบจำลอง | *% ความแตกต่าง |
|----------------------------|-------------------|------------------|----------|----------------|
| อัตราการไหล HGO Pumparound | m ³ /h | 57.42 | 57.42 | 0.00 |
| อุณหภูมิ HGO Pumparound | °C | 180.83 | 183.00 | 1.20 |
| อัตราการไหล HN Product | m ³ /h | 43.71 | 43.92 | 0.48 |
| อัตราการไหล Kero Product | m ³ /h | 17.79 | 17.69 | -0.56 |
| อัตราการไหล LGO Product | m ³ /h | 112.23 | 112.40 | 0.15 |
| อัตราการไหล HGO Product | m ³ /h | 11.26 | 11.26 | 0.00 |
| อัตราการไหล ATE Product | m ³ /h | 200.40 | 203.65 | 1.62 |

3. หอเสถียรเนฟทา (Light Naphtha Stabilization)

| | หน่วย | การดำเนินงานจริง | แบบจำลอง | *% ความแตกต่าง |
|------------------------------------|-------------------|------------------|----------|----------------|
| อัตราการไหล 3K01 | m ³ /h | 940.33 | 941.10 | 0.08 |
| ความดันเข้า 3K01 | bar g | 0.64 | 0.64 | 0.00 |
| ความดันออก 3K01 | °C | 2.68 | 2.68 | 0.00 |
| อัตราการไหลเข้า 3C1 | bar g | 45.96 | 45.08 | -1.91 |
| อุณหภูมิยอดหอ (Top Temperature) | °C | 62.67 | 63.85 | 1.88 |
| อุณหภูมิก้นหอ (Bottom Temperature) | °C | 138.00 | 137.00 | -0.72 |
| ความดันยอดหอ (Top Pressure) | bar g | 7.67 | 7.67 | 0.00 |
| ความดันก้นหอ (Bottom Pressure) | bar g | 7.97 | 7.97 | 0.00 |
| อัตราการไหล LPG Product | m ³ /h | 6.91 | 6.80 | -1.57 |
| อัตราการไหล LN Product | m ³ /h | 37.90 | 37.54 | -0.95 |

* %ความแตกต่าง = (แบบจำลอง - การดำเนินงานจริง) / การดำเนินงานจริง × 100

ตารางที่ 4.6 เปรียบเทียบระหว่างข้อมูล การดำเนินงานจริงกับแบบจำลองของหน่วยกลั่นความดัน
สูญญากาศ

1. ส่วน พรีฮีตติง (Preheating)

| | หน่วย | การดำเนินงานจริง | แบบจำลอง | * % ความแตกต่าง |
|----------------------|-------------------|------------------|----------|-----------------|
| อัตราการไหลเข้า 6E01 | m ³ /h | 223.65 | 223.65 | 0.00 |
| ความดันเข้า 6E01 | mm Hg | 91.90 | 91.90 | 0.00 |
| อุณหภูมิเข้า 6B01 | °C | 304.00 | 304.00 | 0.00 |
| อุณหภูมิเข้า 6C01 | °C | 394.40 | 394.40 | 0.00 |

2. ส่วนหอกลั่นสูญญากาศและไซด์สตรีปปิง (Vacuum Distillation Column and Side Stripping)

| | หน่วย | การดำเนินงานจริง | แบบจำลอง | % ความแตกต่าง |
|------------------------------------|-------------------|------------------|----------|---------------|
| อุณหภูมิเข้า 6C01 | °C | 394.40 | 394.40 | 0.00 |
| อุณหภูมิยอดหอ (Top Temperature) | °C | 142.20 | 142.20 | 0.00 |
| อุณหภูมิก้นหอ (Bottom Temperature) | °C | 358.00 | 351.20 | -1.90 |
| ความดันยอดหอ (Top Pressure) | mm Hg | 87.40 | 87.40 | 0.00 |
| ความดันก้นหอ (Bottom Pressure) | mm Hg | 107.40 | 107.40 | 0.00 |
| อัตราการไหล Top Pumparound | m ³ /h | 146.45 | 146.45 | 0.00 |
| อุณหภูมิ Top Pumparound) | °C | 119.00 | 119.00 | 0.00 |
| อัตราการไหล Middle Pumparound | m ³ /h | 115.28 | 115.28 | 0.00 |
| อุณหภูมิ Middle Pumparound | °C | 159.70 | 162.16 | 1.54 |
| อัตราการไหล Light Slop | m ³ /h | 7.31 | 7.38 | 0.96 |
| อัตราการไหล D60 | m ³ /h | 29.96 | 29.96 | 0.00 |
| อัตราการไหล D150 | m ³ /h | 29.42 | 29.42 | 0.00 |
| อัตราการไหล Middle Slop | m ³ /h | 13.99 | 13.99 | 0.00 |
| อัตราการไหล D500 | m ³ /h | 47.53 | 47.53 | 0.00 |
| อัตราการไหล Heavy slop | m ³ /h | 2.84 | 2.84 | 0.00 |
| อัตราการไหล Vacuum Residue | m ³ /h | 93.56 | 92.54 | -1.09 |

* %ความแตกต่าง = (แบบจำลอง - การดำเนินงานจริง) / การดำเนินงานจริง x 100

4.3 กรณีศึกษา ผลของตัวแปรต่อแบบจำลอง

เนื่องจากแบบจำลองของหน่วยการกลั่นบรรยากาศและหน่วยการกลั่นสุญญากาศมีความซับซ้อน ดังนั้นได้มีการศึกษาผลของตัวแปรต่อแบบจำลอง เพื่อศึกษาพฤติกรรมของแบบจำลอง โดยสามารถนำผลการศึกษามาวิเคราะห์ถึงความเปลี่ยนแปลงเพื่อประโยชน์ในการวางแผนการผลิต

4.3.1 กรณีศึกษา หน่วยการกลั่นความดันบรรยากาศ

4.3.1.1 ตัวแปร อุณหภูมิเข้าหอกกลั่นบรรยากาศ

เนื่องจากหน่วยการกลั่นความดันบรรยากาศเป็นหน่วยปฏิบัติการขนาดใหญ่ และมีการใช้พลังงานมาก โดยมีการใช้พลังงานหลักที่ 1B01 (Crude Charge Heater) ซึ่งเป็นการให้พลังงานกับองค์ประกอบในน้ำมันดิบจนกลายเป็นไอทุกองค์ประกอบ ยกเว้น เอทีบี ที่อุณหภูมิประมาณ 310°C ถึง 330°C ซึ่งเป็นตัวแปรที่สำคัญในการดำเนินงาน

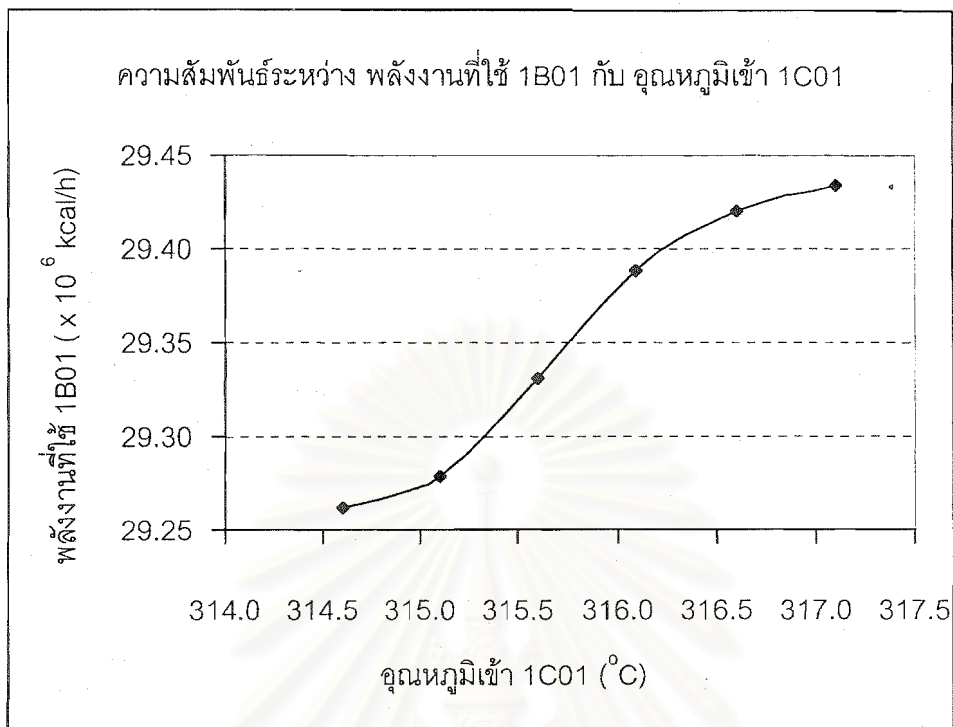
กรณีศึกษา นี้ จะศึกษาผลกระทบของการเปลี่ยนแปลงอุณหภูมิเข้าหอกกลั่นบรรยากาศ ดังแสดงในตารางที่ 4.7

ตารางที่ 4.7 ผลกระทบของการเปลี่ยนแปลงอุณหภูมิเข้าหอกกลั่นบรรยากาศ

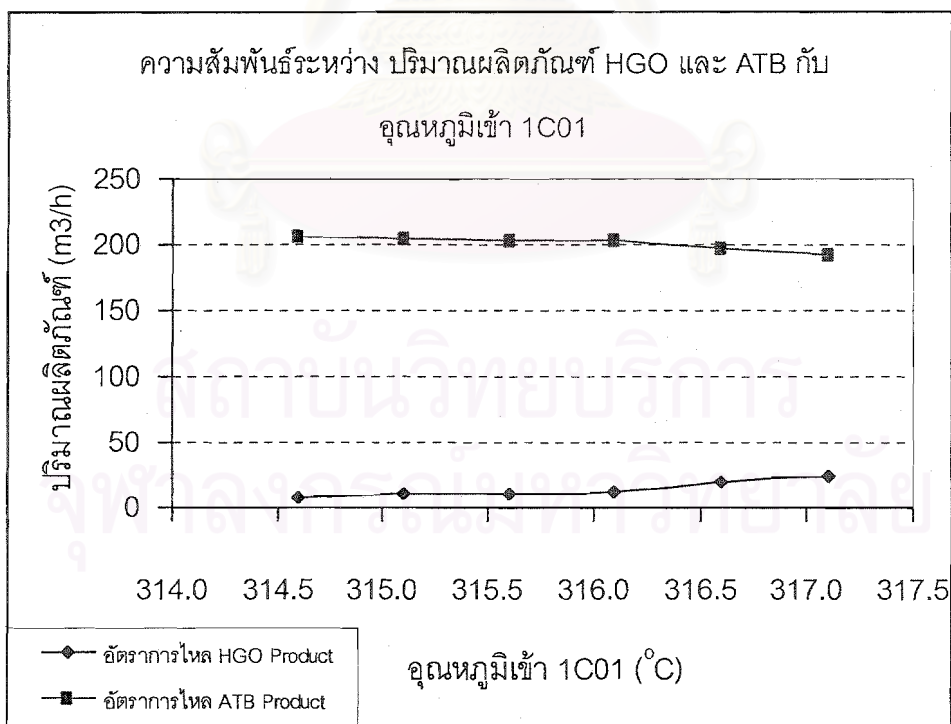
| กรณีศึกษา | | 1 | 2 | 3 | 4 | 5 | 6 |
|--------------------------|------------------------------|--------|--------|--------|--------|--------|--------|
| อุณหภูมิเข้า 1C01 | $^{\circ}\text{C}$ | 314.60 | 315.10 | 315.60 | 316.10 | 316.60 | 317.10 |
| พลังงานที่ใช้ 1B01 | $\times 10^6 \text{ kcal/h}$ | 29.26 | 29.28 | 29.33 | 29.39 | 29.42 | 29.43 |
| อัตราการไหล OH Product | m^3/h | 44.36 | 44.36 | 44.34 | 44.32 | 44.32 | 44.32 |
| อัตราการไหล HN Product | m^3/h | 44.24 | 44.11 | 43.92 | 43.13 | 43.21 | 43.10 |
| อัตราการไหล Kero Product | m^3/h | 17.53 | 17.58 | 17.69 | 18.59 | 18.50 | 18.59 |
| อัตราการไหล LGO Product | m^3/h | 112.87 | 112.75 | 112.40 | 111.59 | 111.15 | 110.59 |
| อัตราการไหล HGO Product | m^3/h | 8.30 | 10.01 | 11.26 | 12.72 | 19.00 | 24.76 |
| อัตราการไหล ATB Product | m^3/h | 205.99 | 204.47 | 203.65 | 202.91 | 197.10 | 191.92 |

ผลการศึกษาผลกระทบ ของการเปลี่ยนแปลงอุณหภูมิเข้าหอกกลั่นบรรยากาศพบว่า เมื่อเพิ่มอุณหภูมิสารป้อนเข้าหอกกลั่นบรรยากาศ ทำให้อุณหภูมิช่วงล่างของหอกกลั่นเพิ่มขึ้น ทำให้ปริมาณผลิตภัณฑ์ HGO เพิ่มขึ้น แต่ปริมาณผลิตภัณฑ์ ATB ลดลง โดยที่ปริมาณผลิตภัณฑ์อื่น ๆ เปลี่ยนแปลงเล็กน้อย

พลังงานที่ใช้ที่ 1B01 เพิ่มขึ้น $0.17 \times 10^6 \text{ kcal/h}$ ทำให้ปริมาณผลิตภัณฑ์ HGO เพิ่มขึ้น $16.46 \text{ m}^3/\text{h}$ ปริมาณผลิตภัณฑ์ ATB ลดลง $14.07 \text{ m}^3/\text{h}$ ดังแสดงในรูปที่ 4.3 และรูปที่ 4.4



รูปที่ 4.3 แสดงความสัมพันธ์ระหว่าง พลังงานที่ใช้ 1B01 กับ อุณหภูมิเข้า 1C01



รูปที่ 4.4 แสดงความสัมพันธ์ระหว่าง ปริมาณผลิตภัณฑ์ HGO และ ATB กับ อุณหภูมิเข้า 1C01

4.3.1.2 ตัวแปรรีฟลักซ์ (reflux) ของหอกลั่นบรรยากาศ

ในการดำเนินงานของหอกลั่นบรรยากาศ เครื่องควบแน่นยอดหอ (condensor) จะเป็นอุปกรณ์ควบคุมสภาวะการดำเนินงานส่วนบนของหอกลั่น โดยจะทำให้ไอที่ออกจากยอดหอกลายเป็นของเหลว แล้วส่วนหนึ่งจะส่งกลับเป็นรีฟลักซ์

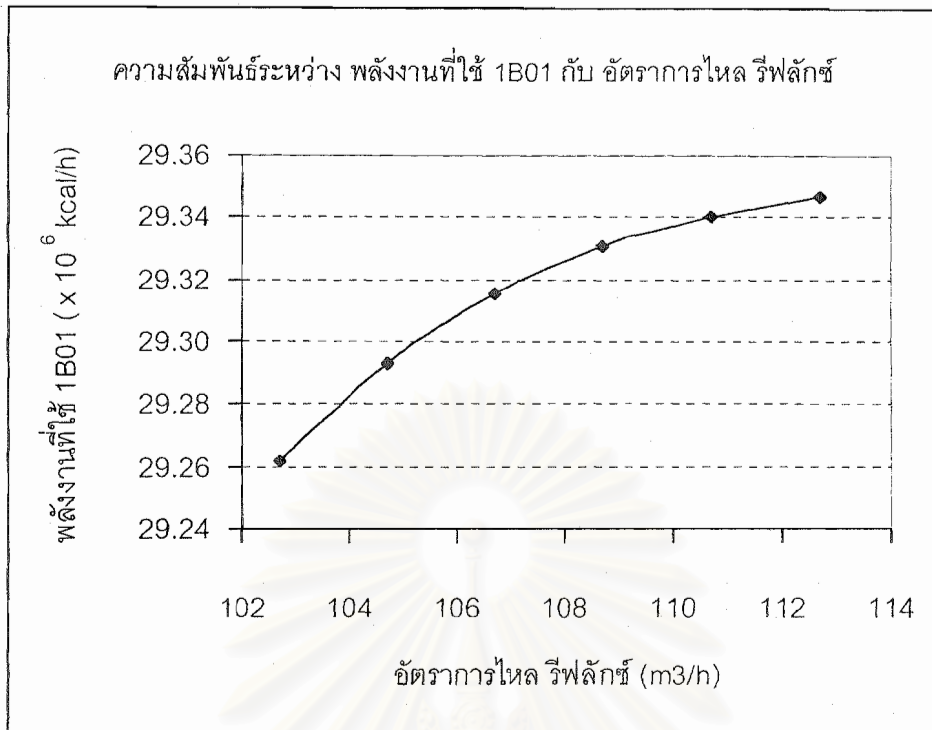
กรณีศึกษาจะศึกษาผลกระทบของการเปลี่ยนแปลงปริมาณรีฟลักซ์เข้าหอกลั่นบรรยากาศ ดังแสดงในตารางที่ 4.8

ตารางที่ 4.8 ผลกระทบของการเปลี่ยนแปลงรีฟลักซ์เข้าหอกลั่นบรรยากาศ

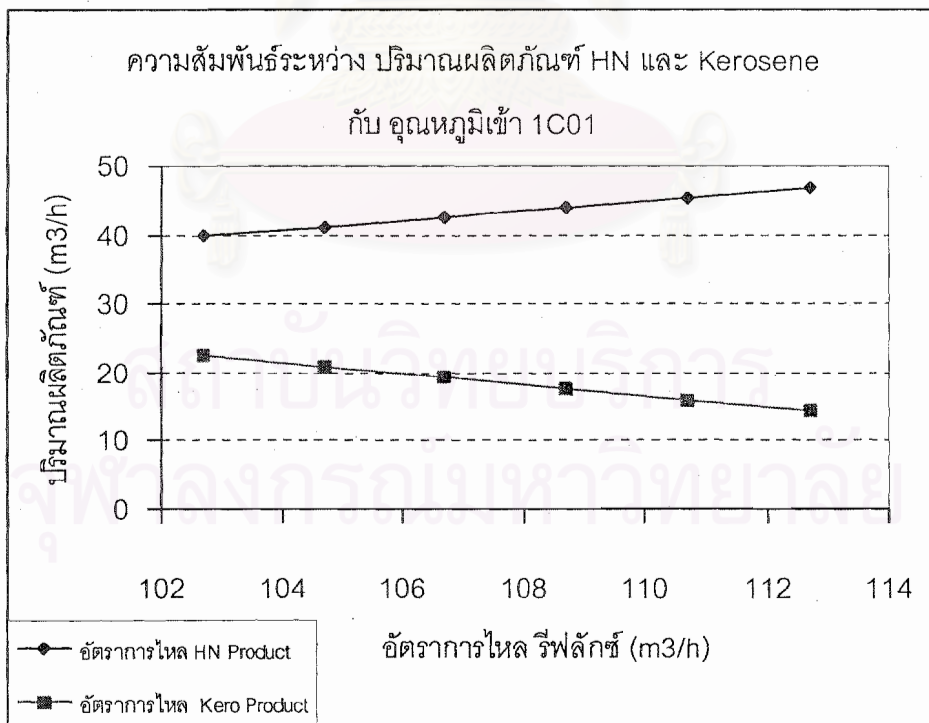
| กรณีศึกษา | | 1 | 2 | 3 | 4 | 5 | 6 |
|--------------------------|--------------------------|--------|--------|--------|--------|--------|--------|
| อัตราการไหล รีฟลักซ์ | m ³ /h | 102.70 | 104.70 | 106.70 | 108.70 | 110.70 | 112.70 |
| พลังงานที่ใช้ 1B01 | x 10 ⁶ kcal/h | 29.26 | 29.29 | 29.32 | 29.33 | 29.34 | 29.35 |
| อัตราการไหล OH Product | m ³ /h | 44.64 | 44.55 | 44.45 | 44.34 | 44.25 | 44.14 |
| อัตราการไหล HN Product | m ³ /h | 39.84 | 41.17 | 42.56 | 43.92 | 45.42 | 46.91 |
| อัตราการไหล Kero Product | m ³ /h | 22.66 | 20.95 | 19.27 | 17.69 | 16.00 | 14.36 |
| อัตราการไหล LGO Product | m ³ /h | 109.12 | 110.42 | 111.51 | 112.40 | 113.21 | 113.93 |
| อัตราการไหล HGO Product | m ³ /h | 15.15 | 13.60 | 12.31 | 11.26 | 10.32 | 9.46 |
| อัตราการไหล ATB Product | m ³ /h | 201.86 | 202.58 | 203.17 | 203.65 | 204.06 | 204.45 |

ผลการศึกษาผลกระทบ ของการเปลี่ยนแปลงรีฟลักซ์พบว่า เมื่อเพิ่มปริมาณรีฟลักซ์เข้ายอดหอกลั่นบรรยากาศ ทำให้อุณหภูมิช่วงบนของหอกลั่นลดลง ทำให้ปริมาณผลิตภัณฑ์ HN เพิ่มขึ้น แต่ปริมาณผลิตภัณฑ์ Kerosene ลดลง โดยที่ปริมาณผลิตภัณฑ์อื่น ๆ เปลี่ยนแปลงน้อย

ปริมาณรีฟลักซ์เพิ่มขึ้น 10 m³/h ทำให้พลังงานที่ใช้ที่ 1B01 เพิ่มขึ้น 0.09 x 10⁶ kcal/h ทำให้ปริมาณผลิตภัณฑ์ HN เพิ่มขึ้น 7.07 m³/h ปริมาณผลิตภัณฑ์ Kerosene ลดลง 8.3 m³/h ดังแสดงในรูปที่ 4.5 และรูปที่ 4.6



รูปที่ 4.5 แสดงความสัมพันธ์ระหว่าง พลังงานที่ใช้ 1B01 กับ อัตราการไหล รีฟลักซ์



รูปที่ 4.6 แสดงความสัมพันธ์ระหว่าง ปริมาณผลิตภัณฑ์ HN และ Kerosene กับ อัตราการไหลรีฟลักซ์

4.3.2 กรณีศึกษา หน่วยการกลั่นความดันสุญญากาศ

4.3.2.1 ตัวแปร อุณหภูมิเข้าหอกลั่นสุญญากาศ

เนื่องจากหน่วยการกลั่นสุญญากาศใช้พลังงานหลักที่ 6B01 (Vacuum Charge Heater) ซึ่งเป็นการให้พลังงานกับองค์ประกอบในสารป้อน ที่อุณหภูมิประมาณ 385 °C ถึง 400 °C ซึ่งเป็นตัวแปรที่สำคัญในการดำเนินงาน

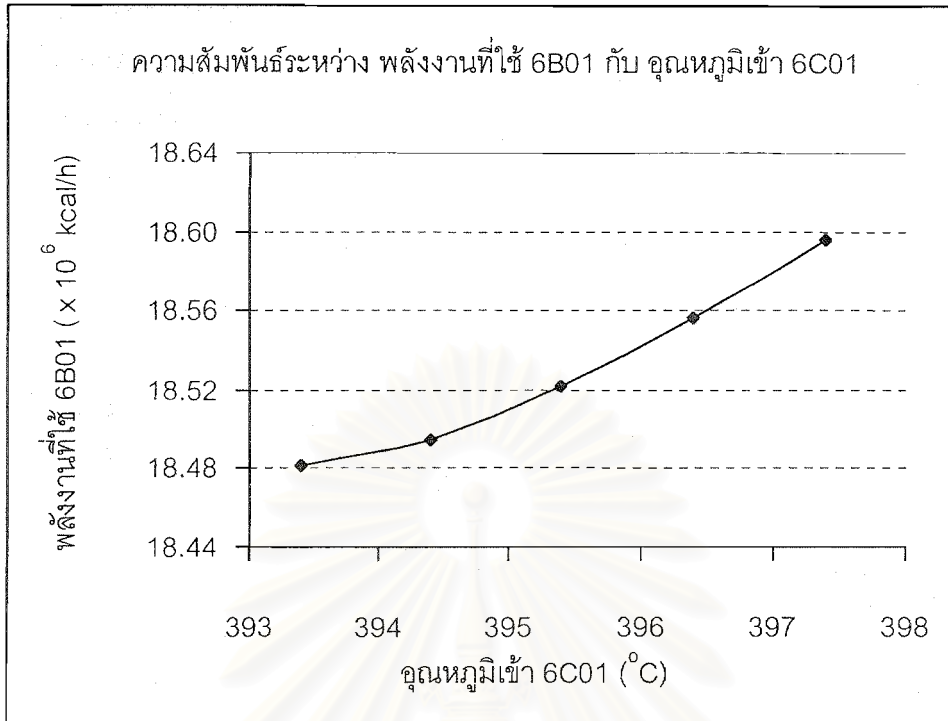
กรณีศึกษานี้ จะศึกษาผลกระทบของการเปลี่ยนแปลงอุณหภูมิเข้าหอกลั่นสุญญากาศ ดังแสดงในตารางที่ 4.9

ตารางที่ 4.9 ผลกระทบของการเปลี่ยนแปลงอุณหภูมิเข้าหอกลั่นสุญญากาศ

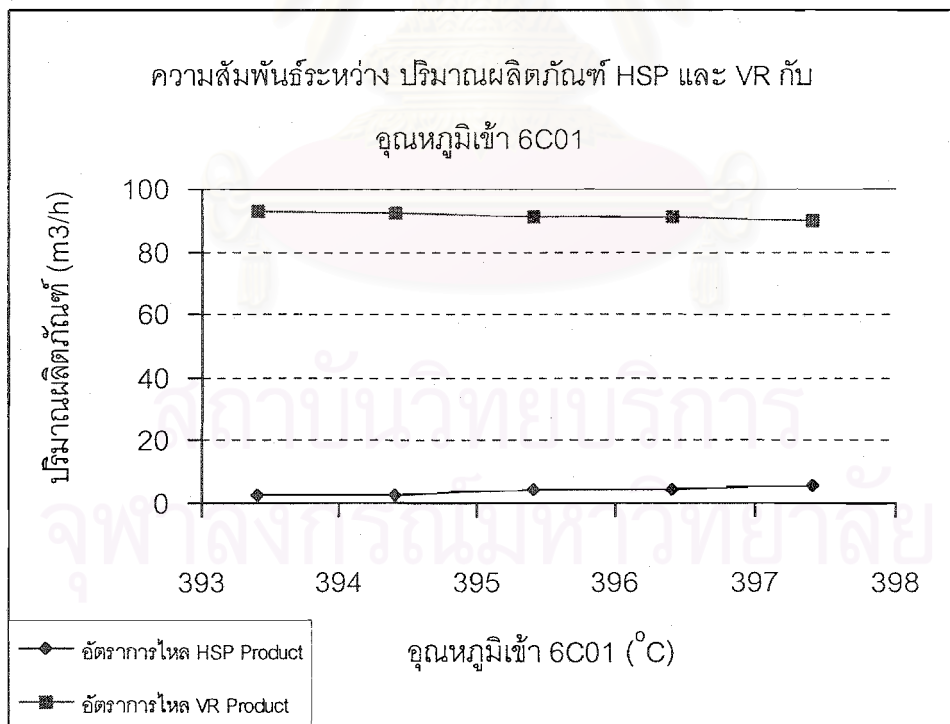
| กรณีนี้ที่ | | 1 | 2 | 3 | 4 | 5 |
|--------------------------|----------------------|--------|--------|--------|--------|--------|
| อุณหภูมิเข้า 1C01 | °C | 393.40 | 394.40 | 395.40 | 396.40 | 397.40 |
| พลังงานที่ใช้ 1B01 | $\times 10^6$ kcal/h | 18.48 | 18.49 | 18.52 | 18.56 | 18.60 |
| อัตราการไหล LSP Product | m ³ /h | 7.39 | 7.38 | 7.42 | 7.42 | 7.39 |
| อัตราการไหล D60 Product | m ³ /h | 29.94 | 29.96 | 30.09 | 30.10 | 30.64 |
| อัตราการไหล D150 Product | m ³ /h | 29.73 | 29.42 | 29.25 | 29.26 | 29.30 |
| อัตราการไหล MSP Product | m ³ /h | 14.65 | 13.99 | 13.81 | 13.80 | 13.60 |
| อัตราการไหล D500 Product | m ³ /h | 46.30 | 47.53 | 47.41 | 47.41 | 47.32 |
| อัตราการไหล HSP Product | m ³ /h | 2.72 | 2.84 | 4.43 | 4.42 | 5.80 |
| อัตราการไหล VR Product | m ³ /h | 92.93 | 92.54 | 91.26 | 91.26 | 89.62 |

ผลการศึกษาผลกระทบ ของการเปลี่ยนแปลงอุณหภูมิเข้าหอกลั่นสุญญากาศ เมื่อเพิ่มอุณหภูมิสารป้อนเข้าหอกลั่นสุญญากาศ ทำให้อุณหภูมิช่วงล่างของหอกลั่นเพิ่มขึ้น ทำให้ผลิตภัณฑ์ HSP เพิ่มขึ้น แต่ปริมาณผลิตภัณฑ์ VR ลดลง โดยที่ปริมาณผลิตภัณฑ์อื่น ๆ เปลี่ยนแปลงน้อย

พลังงานที่ใช้ที่ 6B01 เพิ่มขึ้น 0.12×10^6 kcal/h ทำให้ปริมาณผลิตภัณฑ์ HSP เพิ่มขึ้น 3.08 m³/h ปริมาณผลิตภัณฑ์ VR ลดลง 3.31 m³/h ดังแสดงในรูปที่ 4.7 และรูปที่ 4.8



รูปที่ 4.7 แสดงความสัมพันธ์ระหว่าง พลังงานที่ใช้ 6B01 กับ อุณหภูมิเข้า 6C01



รูปที่ 4.8 แสดงความสัมพันธ์ระหว่าง ปริมาณผลิตภัณฑ์ HSP และ VR กับ อุณหภูมิเข้า 6C01

4.3.2.2 ตัวแปร ความดันหอกลิ้นสุญญากาศ

ในการดำเนินงานของหอกลิ้นสุญญากาศ ความดันจะมีผลต่อการดำเนินงาน เนื่องจากสารป้อนของหอกลิ้นมีจุดเดือดสูงมาก จึงต้องดำเนินงานที่ความดันต่ำ เพื่อเพิ่มความสามารถในการระเหยของสารป้อน

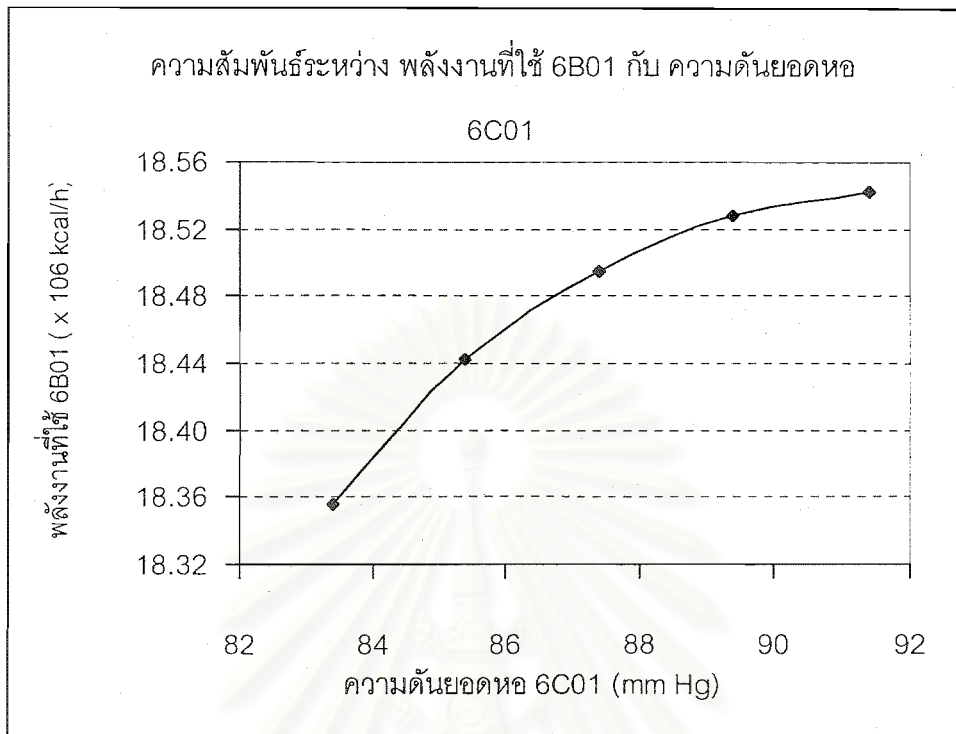
กรณีศึกษาจะศึกษาผลกระทบของการเปลี่ยนแปลงความดันในหอกลิ้นสุญญากาศ ดังแสดงในตารางที่ 4.10

ตารางที่ 4.10 ผลกระทบของการเปลี่ยนแปลงความดันหอกลิ้นสุญญากาศ

| กรณีศึกษา | | 1 | 2 | 3 | 4 | 5 |
|--------------------------|----------------------|-------|-------|-------|-------|-------|
| ความดันยอดหอก 6C01 | mm Hg | 83.40 | 85.40 | 87.40 | 89.40 | 91.40 |
| พลังงานที่ใช้ 1B01 | $\times 10^6$ kcal/h | 18.36 | 18.44 | 18.49 | 18.53 | 18.54 |
| อัตราการไหล LSP Product | m ³ /h | 7.45 | 7.42 | 7.38 | 7.35 | 7.34 |
| อัตราการไหล D60 Product | m ³ /h | 31.48 | 30.67 | 29.96 | 29.34 | 29.03 |
| อัตราการไหล D150 Product | m ³ /h | 29.64 | 29.56 | 29.42 | 29.20 | 29.33 |
| อัตราการไหล MSP Product | m ³ /h | 13.81 | 13.87 | 13.99 | 14.15 | 14.25 |
| อัตราการไหล D500 Product | m ³ /h | 47.59 | 47.56 | 47.53 | 47.50 | 47.49 |
| อัตราการไหล HSP Product | m ³ /h | 0.70 | 2.02 | 2.84 | 3.46 | 2.93 |
| อัตราการไหล VR Product | m ³ /h | 92.98 | 92.56 | 92.54 | 92.67 | 93.29 |

ผลการศึกษาผลกระทบ ของการเปลี่ยนแปลงความดันของหอกลิ้นสุญญากาศ เมื่อลดความดันยอดหอกลิ้นสุญญากาศ ทำให้การใช้พลังงานที่ 6B01 ลดลง เนื่องจากน้ำมันสามารถระเหยได้ดีขึ้น โดยที่ปริมาณผลิตภัณฑ์ต่างๆ เปลี่ยนแปลงน้อย

ความดันยอดหอกลิ้นลดลง 8 mmHg ทำให้พลังงานที่ใช้ที่ 1B01 ลดลง 0.18×10^6 kcal/h ดังแสดงในรูปที่ 4.9



รูปที่ 4.9 แสดงความสัมพันธ์ระหว่าง พลังงานที่ใช้ 6B01 กับ ความดันยอดหอ 6C01

บทที่ 5

การออปติไมซ์หน่วยการกลั่นความดันบรรยากาศ และความดันสุญญากาศ

การออปติไมซ์ คือ การใช้เครื่องมือทางคณิตศาสตร์เพื่อหาคำตอบที่ดีที่สุดของปัญหา ในกรณีศึกษา นี้ ต้องการออปติไมซ์หน่วยการกลั่นความดันบรรยากาศเพื่อให้ได้ผลิตภัณฑ์ Heavy Naphtha มากที่สุด เนื่องจากผลิตภัณฑ์ดังกล่าวมีราคาสูงและเป็นที่ต้องการของโรงงานปลายทาง (Downstream Plant) เช่น โรงงานผลิตน้ำมันแก๊สโซลีน และ โรงงานผลิตอะโรมาติก และต้องการออปติไมซ์หน่วยการกลั่นความดันสุญญากาศ เพื่อให้ได้ผลิตภัณฑ์ D150 และ D500 มากที่สุด เนื่องจากผลิตภัณฑ์ดังกล่าวเป็นสารป้อนของโรงงานน้ำมันเครื่องพื้นฐาน (Lube Base Oil Plant) ซึ่งสามารถสร้างมูลค่าเพิ่มได้มาก

5.1 องค์ประกอบของการออปติไมซ์

5.1.1 หน่วยการกลั่นความดันบรรยากาศ

- ฟังก์ชันวัตถุประสงค์ (Objective Function) คือ ต้องการปริมาณผลิตภัณฑ์ Heavy Naphtha มากที่สุด
- ตัวแปรปรับ (Primary Variable) คือ อุณหภูมิของสารป้อน ซึ่งมีอิทธิพลสูง ต่อการดำเนินงานของหน่วยกลั่น
- เงื่อนไขบังคับ (Constrain) คือ
 - End Point (°C) ของ Heavy Naphtha Product
EP HN < 180 °C
 - End Point (°C) ของ Kerosene Product
EP KERO < 300 °C
 - Distillation 90% volume Point (°C) ของ Light Gas Oil Product
90% volume Piont LGO < 357 °C
 - Flash Point (°C) ของ Kerosene Product
FP KERO > 38 °C
 - Flash Point (°C) ของ Light Gas Oil Product
FP LGO > 52 °C

5.1.2 หน่วยการกลั่นความดันสูญญากาศ

- ฟังก์ชันวัตถุประสงค์ (Objective Function) คือ ต้องการปริมาณผลิตภัณฑ์ D150 และ D500 มากที่สุด
- ตัวแปรปรับ (Primary Variable) คือ อุณหภูมิของสารป้อน ซึ่งมีอิทธิพลสูง ต่อการดำเนินงานของหน่วยกลั่น
- เงื่อนไขบังคับ (Constrain) คือ ความหนาแน่นของผลิตภัณฑ์
 - ความหนาแน่นของผลิตภัณฑ์ D60
 $DEN D60 < 899 \text{ kg/m}^3$
 - ความหนาแน่นของผลิตภัณฑ์ D150
 $DEN D150 < 922 \text{ kg/m}^3$
 - ความหนาแน่นของผลิตภัณฑ์ D500
 $DEN D500 < 951 \text{ kg/m}^3$

5.2 ผลการออปติไมซ์

5.2.1 หน่วยการกลั่นความดันบรรยากาศ

การออปติไมซ์หน่วยการกลั่นความดันบรรยากาศ จะพิจารณาปริมาณผลิตภัณฑ์ที่ต้องการเพิ่ม และการใช้พลังงานของ 1B01 (Crude Charge Heater) เนื่องจากเป็นค่าใช้จ่ายหลักของการดำเนินงาน แสดงดังตารางที่ 5.1

ตารางที่ 5.1 แสดงผลก่อนและหลัง การออปติไมซ์ของหน่วยการกลั่นความดันบรรยากาศ

| ผลการดำเนินงาน | ก่อน การออปติไมซ์ | หลัง การออปติไมซ์ |
|---|----------------------|----------------------|
| 1. ปริมาณผลิตภัณฑ์ Heavy Naphtha , m ³ /h | 43.92 | 44.5 |
| 2. อุณหภูมิขาเข้า 1B01 (Crude Charge Heater), °C | 217.94 | 217.94 |
| 3. อุณหภูมิขาเข้า 1C01 (Atmospheric Distillation Column), °C | 315.6 | 314.79 |
| 4. พลังงานที่ใช้ใน 1B01 (Crude Charge Heater), x10 ⁶ kcal/h | 29.330 | 29.086 |

ผลการออปติไมซ์หน่วยการกลั่นความดันบรรยากาศที่ได้ แสดงดังตารางที่ 5.1 สามารถนำไปพิจารณาในแง่ของรายได้ที่เพิ่มขึ้น แสดงดังตารางที่ 5.2

ตารางที่ 5.2 แสดงผลการพิจารณาในแง่รายได้ของหน่วยการกลั่นความดันบรรยากาศ

| ผลการดำเนินงาน | ปริมาณ | รายได้ที่เพิ่มขึ้น, (US\$/h) | รายได้ที่เพิ่มขึ้น, ($\times 10^6$ บาทต่อปี) |
|---|--------------------------|----------------------------------|--|
| 1. ผลิตภัณฑ์ Heavy Naphtha | +0.578 m ³ /h | 104.23 | 40.174 |
| 2. พลังงานที่ใช้ใน 1B01 (Crude Charge Heater) | -244,406 kcal/h | 3.65 | 1.407 |

การเก็บข้อมูลของอุณหภูมิเข้าหอกลั่นบรรยากาศ แสดงดังตารางที่ 5.3 พบว่าอุณหภูมิเข้าหอกลั่นบรรยากาศ จะมีช่วงการเปลี่ยนแปลงอยู่ระหว่าง 314.6 °C ถึง 316.0 °C ดังนั้นผลการออกปติไมซ์ของอุณหภูมิเข้าหอกลั่นบรรยากาศจึงอยู่ในช่วงที่เป็นไปได้

ตารางที่ 5.3 แสดงข้อมูลของอุณหภูมิเข้า 1C01 (°C)

| ลำดับการเก็บข้อมูล (ครั้ง) | อุณหภูมิเข้า 1C01 (°C) |
|----------------------------|------------------------|
| 1 | 315.4 |
| 2 | 314.6 |
| 3 | 315.8 |
| 4 | 315.8 |
| 5 | 315.8 |
| 6 | 316.0 |
| 7 | 315.4 |
| 8 | 315.6 |
| 9 | 315.8 |
| 10 | 315.8 |

5.2.2 หน่วยการกลั่นความดันสุญญากาศ

การออกปติไมซ์หน่วยการกลั่นความดันสุญญากาศ จะพิจารณาปริมาณผลิตภัณฑ์ที่ต้องการเพิ่ม และการใช้พลังงานของ 6B01 (Vacuum Charge Heater) เนื่องจากเป็นค่าใช้จ่ายหลักของการดำเนินงาน แสดงดังตารางที่ 5.4

ตารางที่ 5.4 แสดงผลก่อนและหลัง การอบดีไมซ์ของหน่วยการกลั่นความดันสุญญากาศ

| ผลการดำเนินงาน | ก่อน การอบดีไมซ์ | หลัง การอบดีไมซ์ |
|--|---------------------|---------------------|
| 1. ปริมาณผลิตภัณฑ์ D150 , m3/h | 29.42 | 30.34 |
| 2. ปริมาณผลิตภัณฑ์ D500 , m3/h | 47.53 | 47.74 |
| 3. อุณหภูมิขาเข้า 6B01 (Vacuum Charge Heater) , °C | 304.0 | 303.1 |
| 4. อุณหภูมิขาเข้า 6C01 (Vacuum Distillation Column) , °C | 394.4 | 392.0 |
| 5. พลังงานที่ใช้ใน 6B01 (Vacuum Charge Heater) , $\times 10^6$ kcal/h | 18.49 | 18.14 |

ผลการอบดีไมซ์หน่วยการกลั่นความดันสุญญากาศที่ได้ แสดงดังตารางที่ 5.4 สามารถนำไปพิจารณาในแง่ของรายได้ที่เพิ่มขึ้น แสดงดังตารางที่ 5.5

ตารางที่ 5.5 แสดงผลการพิจารณาในแง่รายได้ของหน่วยการกลั่นความดันสุญญากาศ

| ผลการดำเนินงาน | ปริมาณ | รายได้ที่เพิ่มขึ้น, (US\$/h) | รายได้ที่เพิ่มขึ้น, ($\times 10^6$ บาทต่อปี) |
|--|-----------------|----------------------------------|--|
| 1. ผลิตภัณฑ์ D150 | +0.9202 m3/h | 144.61 | 55.74 |
| 2. ผลิตภัณฑ์ D500 | +0.2028 m3/h | 31.86 | 12.89 |
| 3. พลังงานที่ใช้ใน 6B01 (Vacuum Charge Heater) | -354,383 kcal/h | 5.3 | 2.04 |

การเก็บข้อมูลของอุณหภูมิเข้าหอกลั่นสุญญากาศ แสดงดังตารางที่ 5.6 พบว่าอุณหภูมิเข้าหอกลั่นสุญญากาศ จะมีช่วงการเปลี่ยนแปลงอยู่ระหว่าง 392.9°C ถึง 395.9°C ดังนั้นผลการอบดีไมซ์ของอุณหภูมิเข้าหอกลั่นสุญญากาศจึงอยู่ในช่วงที่เป็นไปได้

ตารางที่ 5.6 แสดงข้อมูลของอุณหภูมิเข้า 6C01 (°C)

| ลำดับการเก็บข้อมูล (ครั้ง) | อุณหภูมิเข้า 6C01 (°C) |
|----------------------------|------------------------|
| 1 | 394.7 |
| 2 | 395.3 |
| 3 | 394.5 |
| 4 | 393.5 |
| 5 | 393.9 |
| 6 | 395.9 |
| 7 | 393.7 |
| 8 | 395.3 |
| 9 | 392.9 |
| 10 | 393.7 |

5.3 สรุปการออปติไมซ์

ผลการออปติไมซ์หน่วยการกลั่นความดันบรรยากาศ มีรายได้เพิ่มจากการเพิ่มผลิตภัณฑ์ Heavy Naphtha 40.17 ล้านบาท/ปี และการลดการใช้พลังงานที่ 1B01 ได้ 1.40 ล้านบาท/ปี โดยรายได้หลังการออปติไมซ์จากผลิตภัณฑ์ Heavy Naphtha 3,090 ล้านบาท/ปี ดังนั้นมีรายได้เพิ่มเติมเป็น 1.3 เปอร์เซ็นต์ของรายได้รวมจากผลิตภัณฑ์ Heavy Naphtha ซึ่งควรทำออปติไมซ์เนื่องจากภาวะการผลิตที่จุดออปติไมซ์มีความเป็นไปได้ และมีผลกระทบต่อกระบวนการผลิตปกติที่น้อย ซึ่งความเสี่ยงน้อยต่อการหยุดการดำเนินงาน

ส่วนหน่วยการกลั่นความดันสูญญากาศ มีรายได้เพิ่มจากการเพิ่มผลิตภัณฑ์ D150 55.74 ล้านบาท/ปี ผลิตภัณฑ์ D500 12.89 ล้านบาท/ปี และการลดการใช้พลังงานที่ 6B01 ได้ 2.04 ล้านบาท/ปี โดยรายได้หลังการออปติไมซ์จากผลิตภัณฑ์ D150 และ D500 4,729 ล้านบาท / ปี ดังนั้นมีรายได้เพิ่มเติมเป็น 1.44 เปอร์เซ็นต์ของรายได้รวมจากผลิตภัณฑ์ D150 และ D500 ซึ่งควรทำออปติไมซ์เนื่องจากภาวะการผลิตที่จุดออปติไมซ์มีความเป็นไปได้ และมีผลกระทบต่อกระบวนการผลิตปกติที่น้อย ซึ่งความเสี่ยงน้อยต่อการหยุดการดำเนินงาน

รายการอ้างอิง

ภาษาไทย

เกริกชัย สุภาภรณ์จ๊ะ. **อุณหพลศาสตร์สำหรับอุตสาหกรรมซีพีโอ**. กรุงเทพมหานคร:
สำนักพิมพ์จุฬาลงกรณ์มหาวิทยาลัย, 2538.

ภาษาอังกฤษ

Beveridge, S.G. and Scheckter, R.S. **Optimization theory and practice**. McGraw-Hill,
1970.

Chen, E. Real time online optimization. **Hydrocarbon Processing**. Texas :Foster Wheeler,
2001.

Donald, A. P. **Optimization theory with applications**. Montana: John Wiley and Sons,
1969, pp. 1-3.

Douglass, J. W. **Optimization seeking methods**. NJ: Prentice Hall, 1964, pp. 13-17.

Douglass, J. W. and Beightler S. C. **Optimization and optimism**. NJ: Prentice Hall, 1967,
pp.1-7.

LG Engineering Co.,Ltd. Seoul Korea. **Basic design package for TPI slitter plant III
project**. (n.p.), 1995 a.

LG Engineering Co., Ltd. Seoul Korea. **Preliminary basic design package for vacuum
distillation unit TPI lube oil plant**. (n.p.), 1995 b.

Ralph, E. S. **Multiple criteria optimization**. Georgia: John Wiley and Sons, 1986.

Shannon, R. E. **Systems simulations: The art & science**. NJ: Prentice Hall, 1975.

Sowell, R. Why a simulation system doesn't match the plant. **Hydrocarbon
Processing** (March 1998): 102-107.

Thongpraserd, S.J. **Simulation**. Bangkok: Chulalongkorn University Press, 1996.

ภาคผนวก ก. โปรแกรมไฮซิส

โปรแกรมไฮซิส เป็นโปรแกรมเพื่อการจำลองแบบกระบวนการผลิต โดยเป็นการพัฒนาของบริษัทไฮโปรเทค (Hyprotech)

1. จุดเด่นของโปรแกรมไฮซิส

1.1 สามารถสร้างแบบจำลองได้อย่างรวดเร็วในหลาย ๆ สถานการณ์ได้อย่างเหมาะสม และสามารถบอกได้ว่าอุปกรณ์ที่จะใช้ต่ำกว่ามาตรฐานหรือไม่

1.2 สามารถลดต้นทุน จากการสร้างแบบจำลองด้านการออกแบบเบื้องต้น จนกระทั่งการออกแบบโดยละเอียด การฝึกอบรมรวมไปถึงการทำออปติไมซ์เซชันตลอดอายุการใช้งานโรงงาน

1.3 สามารถเพิ่มกำไรมากขึ้นจาก การใช้อุปกรณ์ตรงตามทีออกแบบไว้ เปลี่ยนแปลงการออกแบบได้รวดเร็วและทำขึ้นจริงได้อย่างเหมาะสม และกำหนดค่าพารามิเตอร์ในกระบวนการได้ถูกต้องจากการเปลี่ยนแปลงวัตถุดิบ

2. ลักษณะการใช้งานของโปรแกรมไฮซิสทางเทคนิค

2.1 ทำงานสอดคล้องกับหลักการทางเทอร์โมไดนามิกส์

โปรแกรมไฮซิสมีความน่าเชื่อถือและสามารถเข้าใจได้ง่าย ไม่ว่าจะเป็นการเลียนแบบกระบวนการในระบบไอน้ำ กระบวนการที่เกี่ยวข้องกับสารไฮโดรคาร์บอน หรือในกระบวนการทางเคมีที่เป็น Non-ideal นอกจากนี้โปรแกรมยังรวมถึงสมการสภาวะที่จำเป็น และแบบจำลองบางส่วน รวมถึงฐานข้อมูลที่ต้องใช้ในการแก้ปัญหา Hysys.process ยังมีลักษณะพิเศษทางเทอร์โมไดนามิกส์ที่สามารถจะจัดการกับระบบความดันสูงของ non-ideal แบบจำลองสิ่งแวดล้อมและรวบรวมพารามิเตอร์ไว้มากกว่า 15,000 binary

2.2 มีหน่วยปฏิบัติการที่เข้าใจง่าย

Hysys.process มีบัญชีรายการชุดอุปกรณ์ทำงานเกี่ยวกับปิโตรเคมี เช่น อุปกรณ์แลกเปลี่ยนความร้อน อุปกรณ์เกี่ยวกับการไหลเวียน ชุดถังแยก หอกลั่น เตาปฏิกรณ์ การปฏิบัติการสภาวะของแข็ง และการทำงานแบบลอจิก

ผลการทำงานของการจำลองกระบวนการได้ถูกพัฒนาให้สามารถส่งออกไปยังกรณีศึกษาอื่น ๆ ได้เช่นกัน และส่งผลเป็นข้อมูลชุด ไปยังถังแยกหรือหอกลั่นใดก็ได้ หอกลั่นในที่นี้ใช้ได้กับแบบ 2 และ 3 สถานะและการกลั่นแบบรีแอกตีฟ คุณสมบัติเฉพาะของหอกลั่นสามารถทำงาน

หรือหยุดการทำงานได้ด้วยการกดเมาส์เท่านั้น โดยจะไม่ยึดติดตัวแปรเฉพาะในกรณีของหอกลั่นที่พัฒนาไปมาก ๆ แผ่นงานอันดับรองลงไปก็สามารถสร้างแบบจำลองคอลัมน์ที่ซับซ้อนได้ รวมทั้งแก้ปัญหาเหมือนกับเป็นหน่วยปฏิบัติการอีกอันหนึ่ง

2.3 แผ่นงานรอง

Hysys.process มีแผ่นงานรองหรือที่เรียกว่า Subflowsheets ที่มีลักษณะเป็นแผ่นงานซ้อนแผ่นงาน มีประโยชน์ดังนี้

- แบบจำลองขนาดใหญ่สามารถถูกจัดการได้ง่ายด้วยการแบ่งเก็บไว้ในแผ่นงานรอง
- แผ่นงานรองแต่ละอันอาจมีคุณสมบัติทางเทอร์โมไดนามิกส์และส่วนประกอบต่าง ๆ เป็นของตัวเองซึ่งจะเป็นประโยชน์ในกรณีที่กระบวนการมีส่วนประกอบอยู่มาก ทำให้ไม่ต้องรวมทุกส่วนประกอบอยู่บนแผ่นงานหลักแผ่นเดียว
- กรณีศึกษาต่าง ๆ สามารถเปิดทิ้งไว้แล้วเรียกมาอ่านได้ระหว่างที่ทำการอื่นอยู่

2.4 PFD และสมุดงาน

ไฮซิสมีวิธีการเข้าถึงข้อมูลและดูผลหลายแบบ สมุดงานในรูปของแผ่นงาน หรือ PFD ซึ่งแสดงให้เห็นภาพได้ชัดเจน หรือแม้แต่แสดงเฉพาะตัวแปรที่เลือก สีบนจอก็จะเป็นตัวบอกว่าชุดใดกำลังถูกกำหนด คำนวณ หรือติดตั้งค่าเป็น Default โปรแกรมสามารถเพิ่มลดและดัดแปลงการทำงานโดยตรงใน PFD และสามารถสร้างทิศทางและตารางต่าง ๆ ได้ตามต้องการบน PFD

2.5 Databook

Databook ทำให้เห็นภาพการจัดการข้อมูลได้อย่างกระชับและมีรูปแบบการใช้งานที่ง่าย ซึ่งจะช่วยให้ทำงานได้ดีเมื่อต้องการทำการศึกษาที่มีขนาดใหญ่หรือประเมินผลข้อมูลหลายรูปแบบ แล้วต้องการบันทึกข้อมูลเป็นรายงาน ในกรณีที่มีการเปลี่ยนแปลงตัวแปรจะมีผลให้ได้รายงานใหม่ด้วย

2.6 Optimizer

ชุดออปติไมซ์เซอร์จะช่วยสร้างฟังก์ชันวัตถุประสงค์บนตัวแปรจากแบบจำลอง โดยเทคนิคจำนวนมากมีไว้ให้ใช้งานเพื่อมินิไมซ์หรือแมกซิไมซ์ฟังก์ชันวัตถุประสงค์

ภาคผนวก ข.

สมบัติของผลิตภัณฑ์หลังการอบตีไมต์

เนื่องจากการทำอบตีไมซ์ของหน่วยการกลั่นความดันบรรยากาศ มีฟังก์ชันวัตถุประสงค์คือต้องการปริมาณผลิตภัณฑ์ Heavy Naphtha มากที่สุด และหน่วยการกลั่นสุญญากาศ คือต้องการปริมาณผลิตภัณฑ์ D150 และ D500 มากที่สุด ดังนั้นเมื่อมีการเปลี่ยนแปลงปริมาณผลิตภัณฑ์ของหอกลั่น จะทำให้สมบัติของผลิตภัณฑ์ต่างๆ เปลี่ยนแปลงดังแสดงในตาราง ข.1 และ ข.2

ตารางที่ ข.1 สมบัติของผลิตภัณฑ์หน่วยการกลั่นบรรยากาศ

| สมบัติ | ก่อนการอบตีไมซ์ | หลังการอบตีไมซ์ |
|---------------------------|-----------------|-----------------|
| End Point HN (°C) | 167.72 | 165.60 |
| End Point Kero (°C) | 195.23 | 196.03 |
| 90% volume Point LGO (°C) | 286.42 | 287.38 |
| Flash Point Kero (°C) | 40.99 | 41.40 |
| Flash Point LGO (°C) | 76.58 | 76.91 |

ตารางที่ ข.2 สมบัติของผลิตภัณฑ์หน่วยการกลั่นสุญญากาศ

| สมบัติ | ก่อนการอบตีไมซ์ | หลังการอบตีไมซ์ |
|-----------------------------------|-----------------|-----------------|
| Density D60 (kg/m ³) | 891.42 | 891.25 |
| Density D150 (kg/m ³) | 919.20 | 919.27 |
| Density D500 (kg/m ³) | 950.29 | 950.99 |

ประวัติผู้เขียน

นายวิริยะ เสาวภาคย์ เกิดวันที่ 24 กุมภาพันธ์ พ.ศ. 2516 ที่จังหวัดตรัง สำเร็จการศึกษาระดับปริญญาตรี วิศวกรรมศาสตรบัณฑิต สาขาวิศวกรรมเคมี คณะวิศวกรรมศาสตร์ มหาวิทยาลัยสงขลานครินทร์ ในปีการศึกษา 2537 และศึกษาต่อหลักสูตรวิศวกรรมศาสตรมหาบัณฑิต สาขาวิศวกรรมเคมี คณะวิศวกรรมศาสตร์ จุฬาลงกรณ์มหาวิทยาลัย



สถาบันวิทยบริการ
จุฬาลงกรณ์มหาวิทยาลัย